

## Sistema de control II

### Actividad N°1 Representación de Sistemas y Control PID

**Docente:**

➤ Julián Pucheta.

**Alumno:**

➤ Alaniz Franco.

Caso de estudio 1. Sistema de dos variables de estado

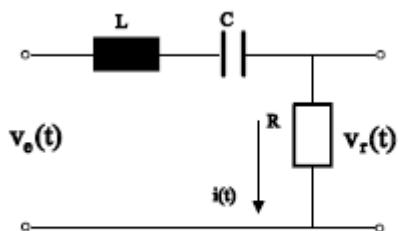


Fig. 1-1. Esquemático del circuito RLC.

Sea el sistema eléctrico de la Fig. 1-1, con las representaciones en variables de estado

$$\dot{\mathbf{x}} = \mathbf{A} \mathbf{x}(t) + \mathbf{b} u(t)$$

$$y = \mathbf{c}^T \mathbf{x}(t)$$

donde las matrices contienen a los coeficientes del circuito,

$$\mathbf{A} = \begin{bmatrix} -R/L & -1/L \\ 1/C & 0 \end{bmatrix}, \mathbf{b} = \begin{bmatrix} 1/L \\ 0 \end{bmatrix},$$

$$\mathbf{c}^T = \begin{bmatrix} R & 0 \end{bmatrix}$$

## Facultad de Ciencia Exactas, Físicas y Naturales

### Sistema de Control II

- 1- Asignar valores a  $R=2,2K\Omega$ ,  $L=10\mu H$ , y  $C=100nF$ . Obtener simulaciones que permitan estudiar la dinámica del sistema, con una entrada de tensión escalón de 12V, que cada 1ms cambia de signo.

Desarrollo:

Para el estudio de la dinámica del circuito primero partí de la ecuación diferencial que describe el comportamiento en el tiempo del circuito:

$$v_{in}(t) = L * \frac{di(t)}{dt} + C * \int i(t)dt + R * i(t)$$

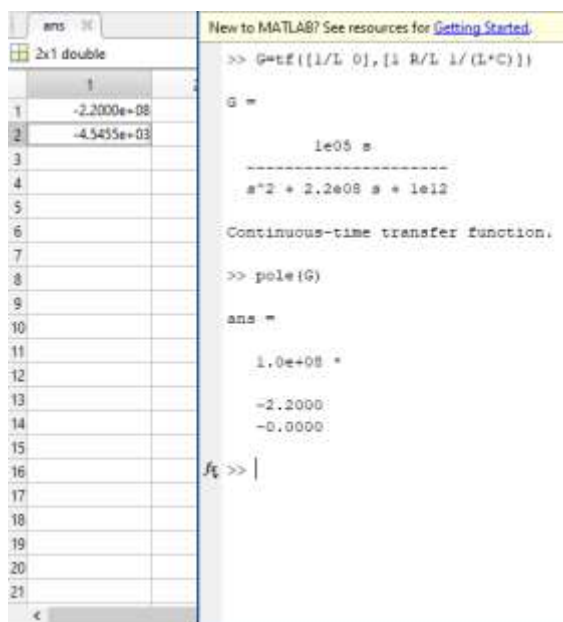
Llevando todo al dominio de Laplace y obteniendo la ecuación de transferencia

$$\frac{I(s)}{V_{in}(s)} = \frac{\frac{s}{L}}{s^2 + \frac{R}{L} * s + \frac{1}{L * C}}$$

Valuando:

$$\frac{I(s)}{V_{in}(s)} = \frac{\frac{s}{10e^{-6}}}{s^2 + 2e^8 * s + 1e^{12}}$$

Lo cual nos da 2 polos  $\lambda_1 = -2.2e^8$  y  $\lambda_2 = -4.545e^3$



## Facultad de Ciencia Exactas, Físicas y Naturales

### Sistema de Control II

Como  $\lambda_1$  se encuentra más alejado del origen en el plano S entonces la respuesta en el tiempo que aporta es mucho más rápida que la  $\lambda_2$ . De esto podemos obtener el tiempo que represente el 95% de la dinámica más rápida como

$$e^{\lambda_1 * t} \rightarrow t = \frac{\ln(.95)}{\lambda_1} = 2.331e^{-11}$$

Por lo que el tiempo de integración tiene que ser más chico para poder captar esta respuesta, en este caso tome un

$$t = \frac{t}{10} = 2.331e^{-12}$$

(Pero por cuestiones prácticas y menor tiempo de simulación tome opte por un valor de  $1e^9$ , que si es menor pero todavía puede captar la dinámica del sistema)

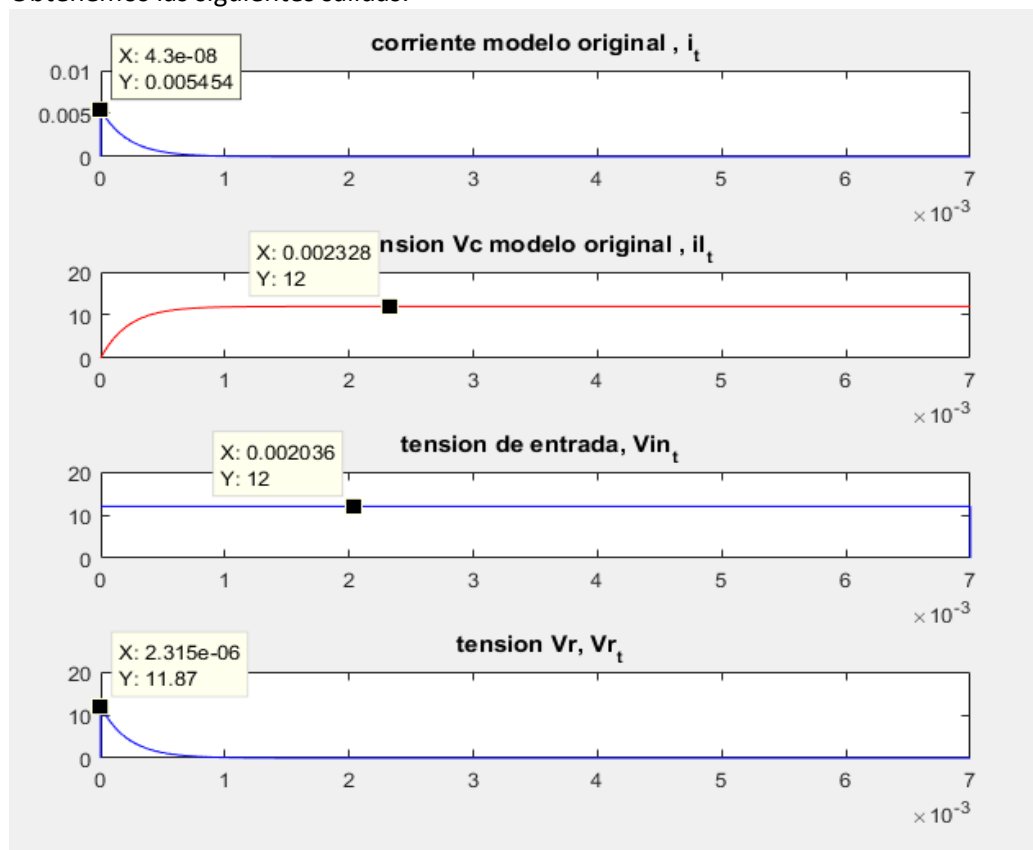
Para el tiempo de simulación tomé la respuesta más lenta y para cuando el tiempo llega a un 5% de su valor (y no hay mas transitorios), obtuve el siguiente valor:

$$e^{\lambda_2 * t} \rightarrow t = \frac{\ln(.05)}{\lambda_2} = 6.5905e^{-4}$$

Con el mismo criterio que para simulación tiene que ser 10 veces más:

$$t = 10 * t \cong 7ms$$

Obtenemos las siguientes salidas:



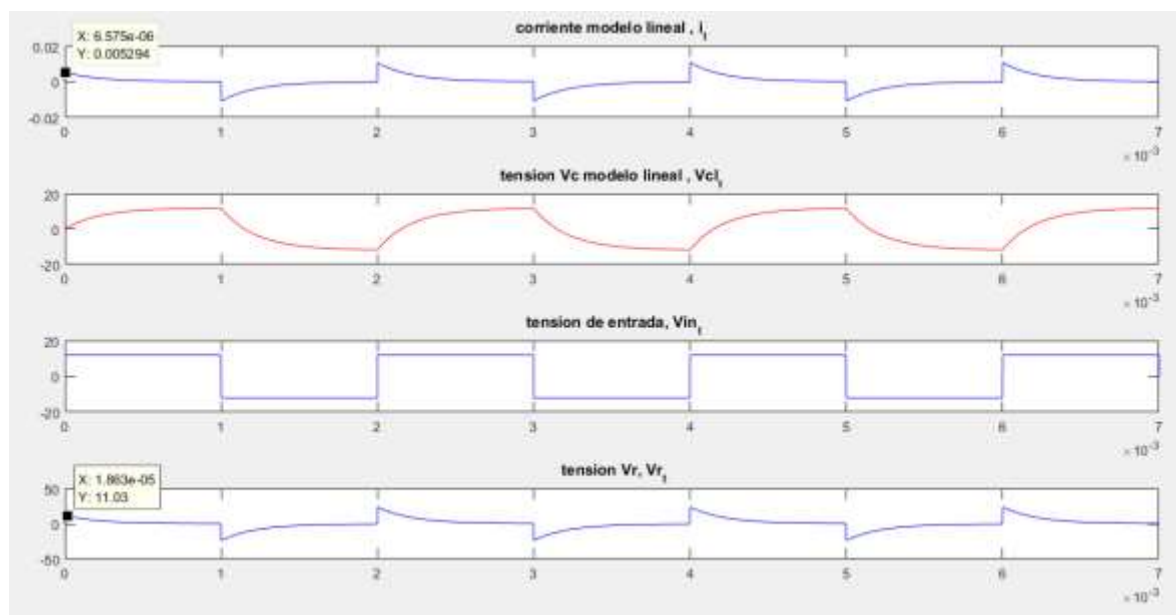
## Facultad de Ciencia Exactas, Físicas y Naturales

### Sistema de Control II

Vemos como la corriente empieza con un pico y esto lo produce el capacitor dado que no estaba cargado como sabemos:

$$i(t) = \frac{dq(t)}{dt} = \frac{V_{in}}{R} * e^{-\frac{t}{R*C}}$$

Por lo cual para el tiempo  $t=0$  la corriente es máxima y a medida que el tiempo aumenta y el capacitor se va cargando la corriente disminuye.



Se observa como el cambio en la tensión de entrada produce una carga y descarga del capacitor obteniendo picos de corrientes en las transiciones de carga y descarga del capacitor. Igualmente, el modelo lineal funciona bastante bien porque si hacemos del producto de la corriente por la resistencia en algún instante de tiempo corresponde al valor obtenido en la gráfica.

2. Asignar valores a  $R=100K\Omega$ ,  $L=10\mu H$ , y  $C=100nF$ . repetir lo anterior para comparar el resultado y verificar la correcta simulación.

Como la resistencia ahora es mucho más grande vamos a tener un corrimiento de los polos por lo que el tiempo de integración va a tener que cambiar para tener una correcta simulación.

Como ahora los polos son  $\lambda_1 = -1$  y  $\lambda_2 = -100$

$$e^{\lambda_1 t} \rightarrow t = \frac{\ln(.95)}{\lambda_1} = 5.1293e^{-12}$$

$$t = \frac{t}{3} = 1.8e^{-12}$$

Opte por tomar un valor más chico, con un tiempo de simulación menor para simplificar la cantidad de cuentas y no demorar demasiado en cada simulación.

## Facultad de Ciencia Exactas, Físicas y Naturales Sistema de Control II

```

Editor - ejercicio1_simb.m
ans
2x1 double
1 2
1 -1.0000e+10
2 -100.0000
3
4
5
6
7
8
9
10
11
12
13
14
15
16
17
18
19
20
21
Command Window
New to MATLAB? See resources for Getting Started.

>> R

R =

    100000

>> G=tf([1/L 0],[1 R/L 1/(L*C)])

G =

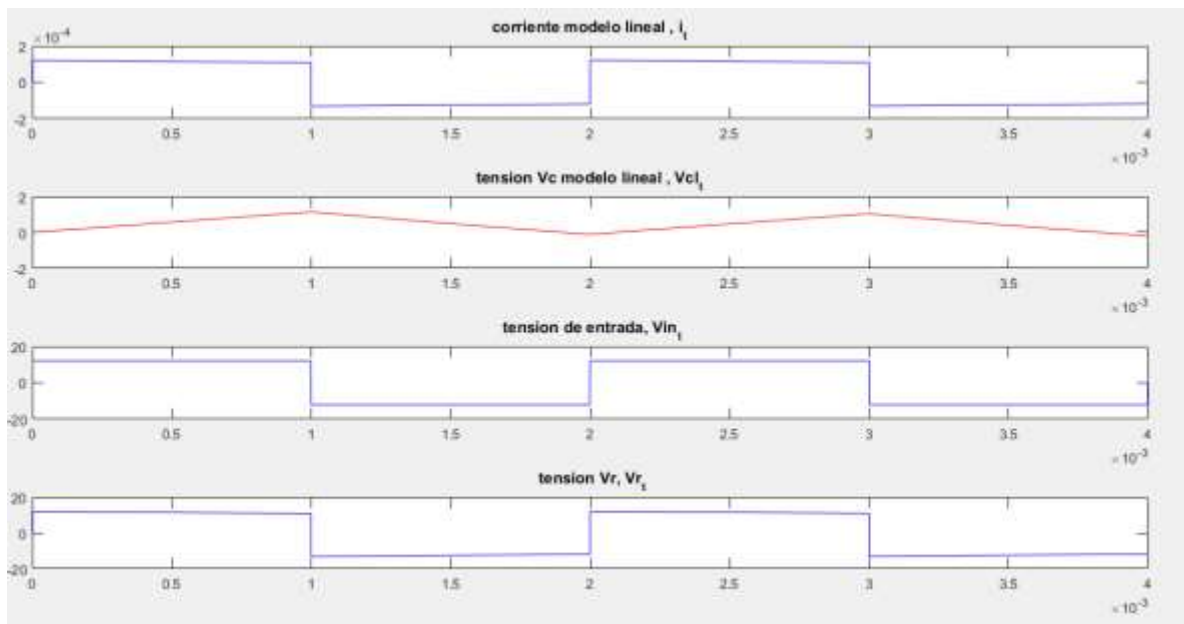
    1e05 s
    -----
    s^2 + 1e10 s + 1e12

Continuous-time transfer function.

>> pole(G)

ans =

    1.0e+09 *
   -10.0000
   -0.0000
fx >>
  
```



Vemos como el capacitor no alcanza a cargarse en una totalidad y la corriente en el circuito no disminuye a cero. En los cambios de polaridad de la tensión de entrada se ven cambios bruscos de corriente dado por la descarga del capacitor. Se nota igual al tener una resistencia más grande la corriente disminuye en modulo por lo que le modelo responde.

## Facultad de Ciencia Exactas, Físicas y Naturales Sistema de Control II

- En el archivo Curvas\_Medidas\_RLC.xls (datos en la hoja 1 y etiquetas en la hoja 2) encontrarán las series de datos que deberían emplear para deducir los valores de R, L y C del circuito. Emplear el método de la respuesta al escalón, tomando como salida la tensión en el capacitor

Realizando el método de chena para obtener un modelo representativo de un sistema de 2 orden con polo, y tomando un tiempo inicial de muestra como indica la siguiente figura:

```
t_inic =

    1.0000e-04

K =

    11.8820

sys_G_ang =

    -4.999e-07 s + 1
    -----
    9.891e-06 s^2 + 0.02178 s + 1

Continuous-time transfer function.

sys_G_ang =

    -5.94e-06 s + 11.88
    -----
    9.891e-06 s^2 + 0.02178 s + 1

Continuous-time transfer function.
```

Se obtiene la sys\_G\_ang que representa la función de transferencia obtenido para el caso de

$$\frac{V_c(S)}{V_{in}(S)}$$

A partir de la ecuación característica de sys\_G\_ang y sacando factor común el término que acompaña a  $s^2$ , igualándola con la de:

$$\frac{V_c(S)}{V_{in}(S)} = \frac{1}{L * C} * \frac{1}{s^2 + \left(\frac{R}{L} * s\right) + \left(\frac{1}{L * C}\right)}$$

Se obtiene por igualdad y tomando un valor inicial de resistencia de  $10\Omega$ , valores de L, C.

## Facultad de Ciencia Exactas, Físicas y Naturales Sistema de Control II

Calculo de valores  $R, L, C$ :

```
R =
    10

L =
    0.0045

C =
    0.0022
```

Cuya función de transferencia obtenida resulta:

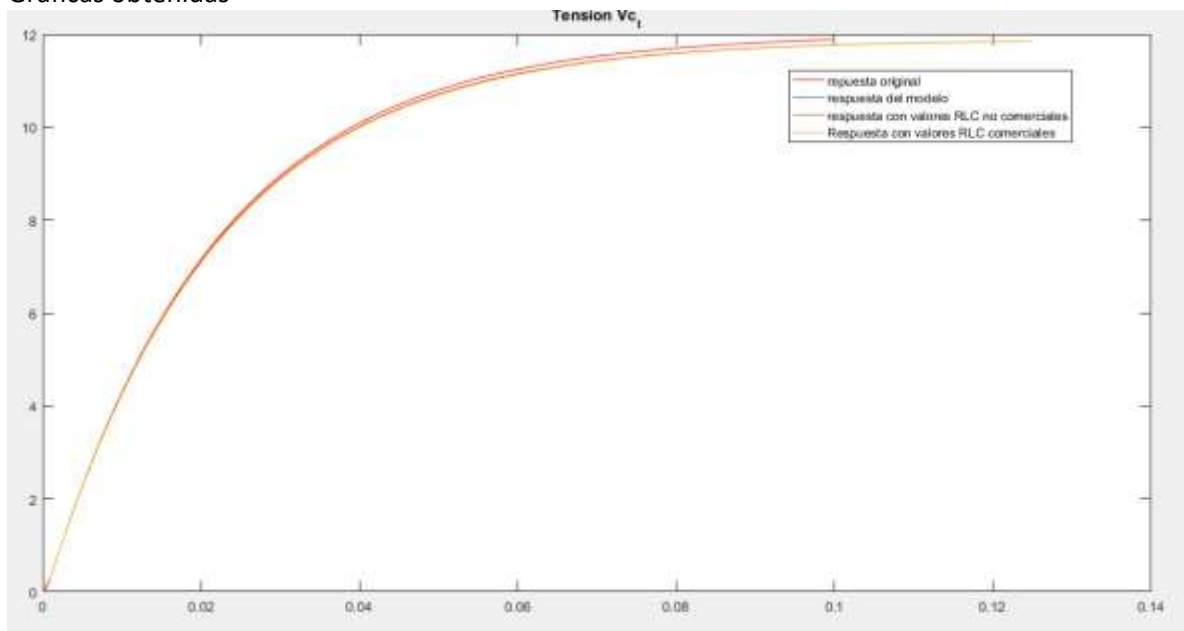
```
sys_G_obte =
    1.201e06
    -----
    s^2 + 2202 s + 1.011e05
Continuous-time transfer function.
```

Y si ahora tomamos valores comerciales de  $R, L, C$ , tenemos:

$R = 10\Omega, L = 4.5mH$  (esto no es comercial pero se podría diseñar),  $C = 2200\mu F$

```
sys_G_obte_com =
    1.2e06
    -----
    s^2 + 2222 s + 1.01e05
Continuous-time transfer function.
```

Graficas obtenidas

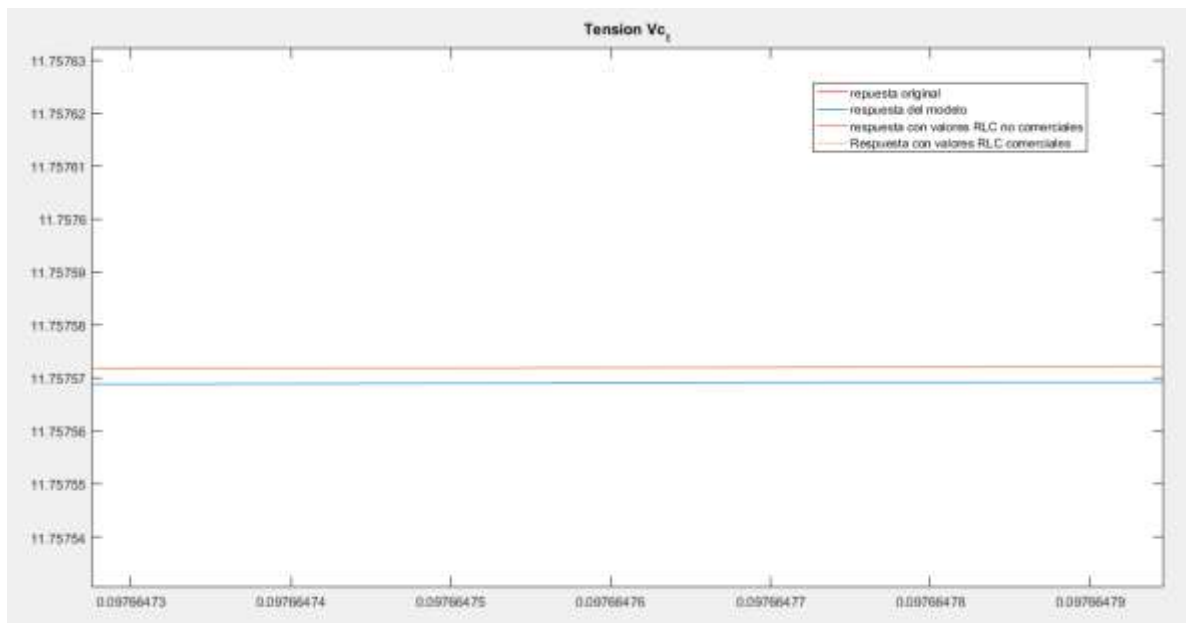
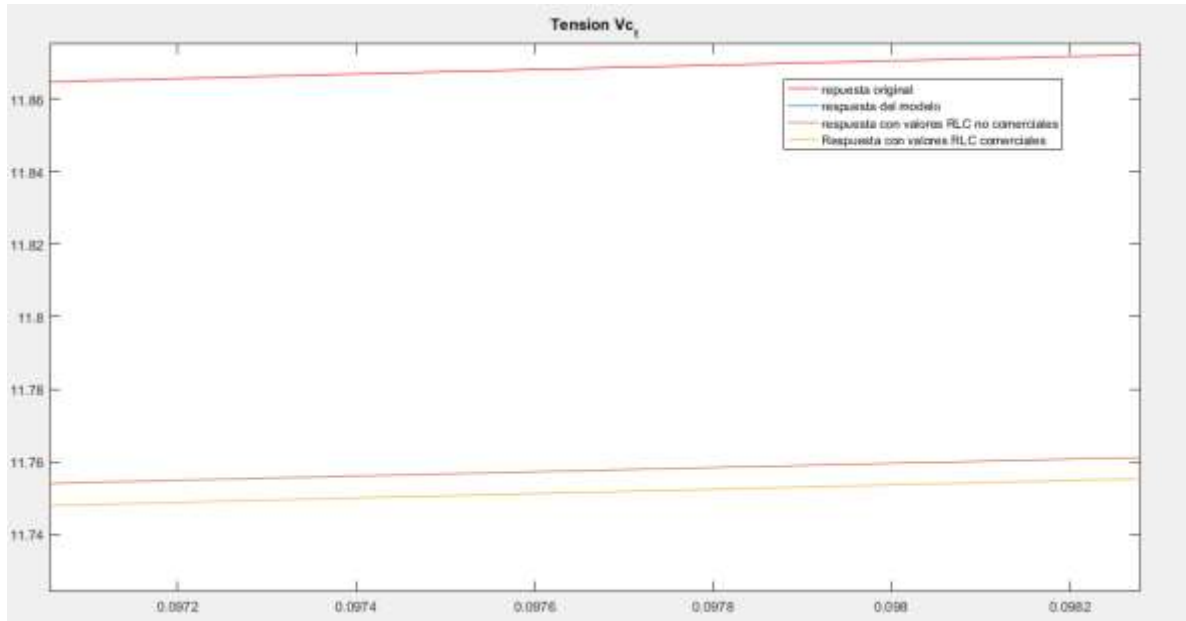


## Facultad de Ciencia Exactas, Físicas y Naturales

### Sistema de Control II

Las gráficas son casi indistinguibles unas de otras, pero se observan diferencias respecto de la original y la del modelo con valores comerciales, la de no comerciales y sacada por el método de chena están casi superpuestas.

Si hacemos un zoom se manifiestan las diferencias





## Facultad de Ciencia Exactas, Físicas y Naturales

### Sistema de Control II

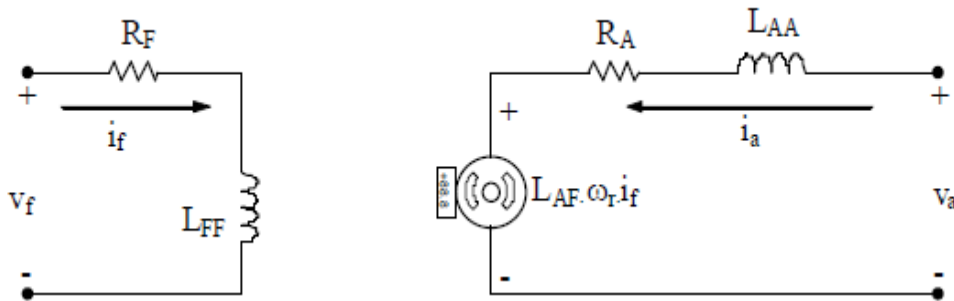
#### Lecciones aprendidas:

En esta actividad pudimos aprender la importancia de obtener un tiempo de integración adecuado para las simulaciones, este procedimiento se aprendió desarrollando la función de transferencia y por medio de sus polos.

#### Complicaciones:

- haber tomado un tiempo inicial más grande para la estimación de la función de transferencia y obtenía valores de L, C inviables. Y el método de obtener los parámetros se complicaba o eran valores poco usuales.
- El tiempo de integración para las simulaciones.

#### Caso de estudio 2



$$\frac{di_a}{dt} = -\frac{R_A}{L_{AA}} i_a - \frac{K_m}{L_{AA}} \omega_r + \frac{1}{L_{AA}} v_a \quad (5)$$

$$\frac{d\omega_r}{dt} = \frac{K_i}{J} i_a - \frac{B_m}{J} \omega_r - \frac{1}{J} T_L \quad (6)$$

$$\frac{d\theta_i}{dt} = \omega_r \quad (7)$$

Tomando  $T_L = 0$ .

$$\frac{\omega_r(s)}{v_a(s)} = \frac{K_i}{s^2 L_{AA} J + s(R_A J + L_{AA} B) + (R_A B + K_I K_m)}$$

Dadas las ecuaciones del motor de corriente continua con torque de carga  $T_L$  no nulo, con los parámetros  $L_{AA} = 366 \cdot 10^{-6}$ ;  $J = 5 \cdot 10^{-9}$ ;  $R_A = 55,6$ ;  $B = 0$ ;  $K_i = 6,49 \cdot 10^{-3}$ ;  $K_m = 6,53 \cdot 10^{-3}$ :

Implementar un algoritmo de simulación para inferir el comportamiento de las variables interés mediante integración Euler con  $\Delta_t = 10^{-7}$  segundos para:

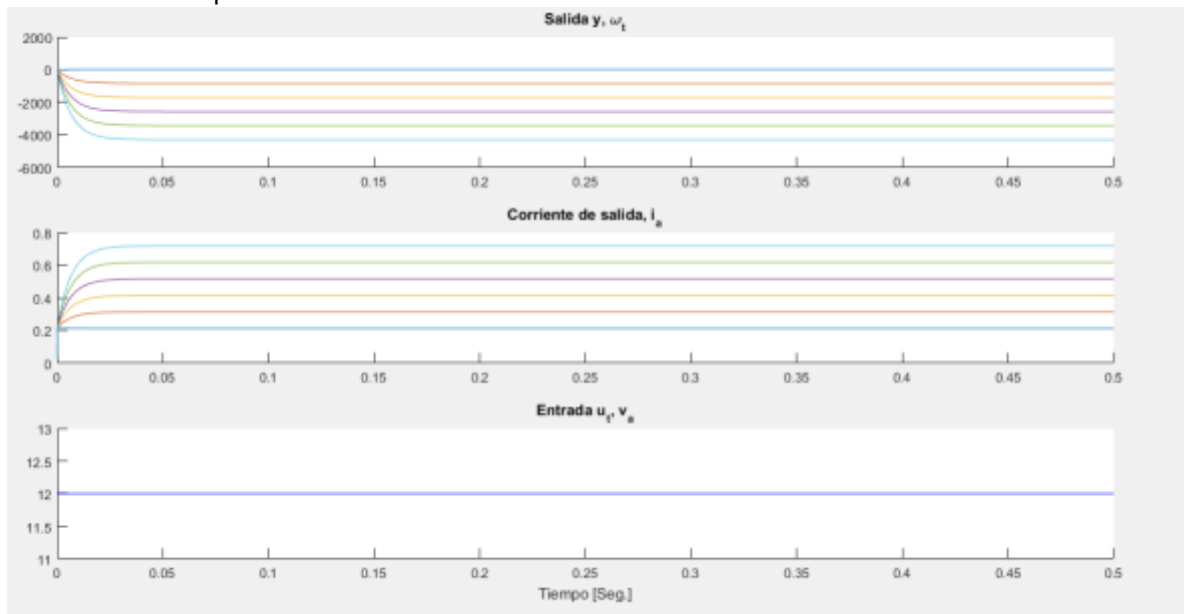
## Facultad de Ciencia Exactas, Físicas y Naturales

### Sistema de Control II

1. Obtener el torque máximo que puede soportar el motor modelado mediante las Ecuaciones. (5) (6) y (7) cuando se lo alimenta con 12V, graficando para 5 segundos de tiempo la velocidad angular y corriente  $i_a$ .

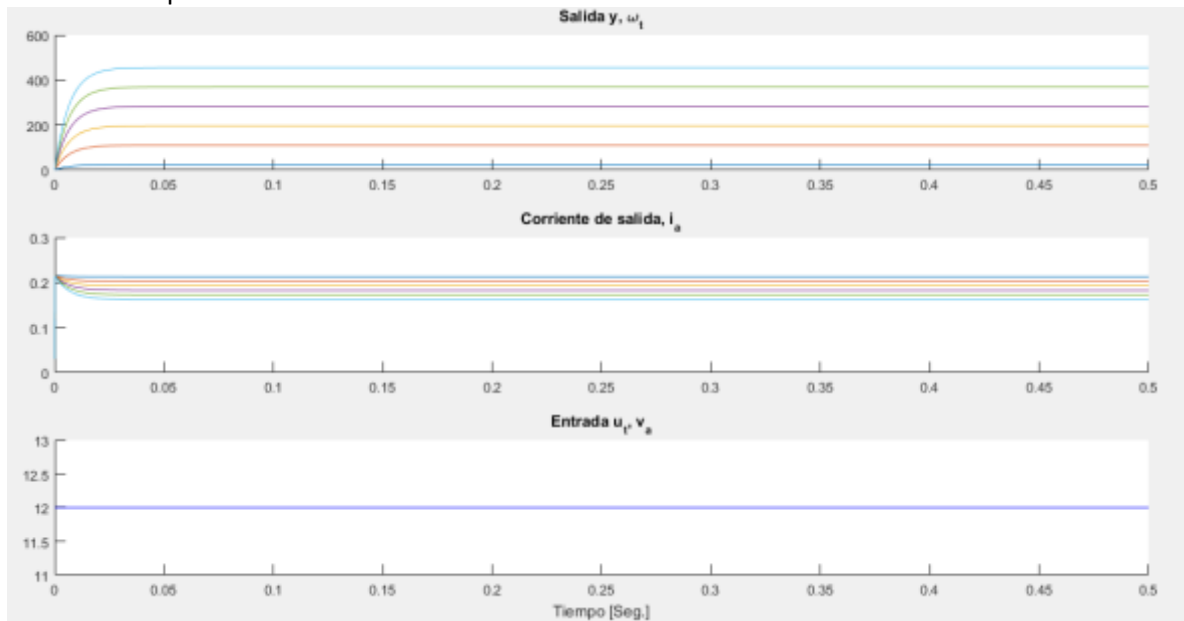
Desarrollo:

$T_l = 2.1 \times 10^{-5}$  con un paso de  $1 \times 10^{-5}$



Tenemos valores de corrientes y velocidades angulares que van en aumento a medida que sube el torque.

$T_l = 2.1 \times 10^5$  con paso de  $-1 \times 10^{-6}$

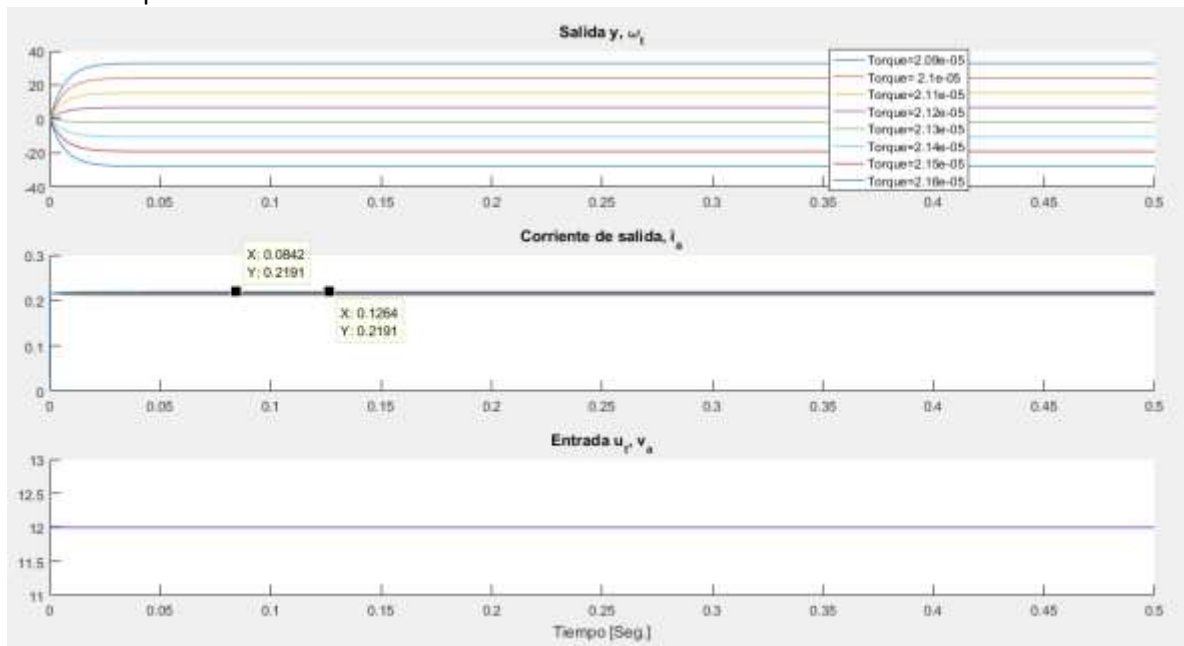


## Facultad de Ciencia Exactas, Físicas y Naturales

### Sistema de Control II

A medida que el torque es más chico la corriente en el motor en disminuye y el motor tiene más velocidad angular con corrientes más chicas.

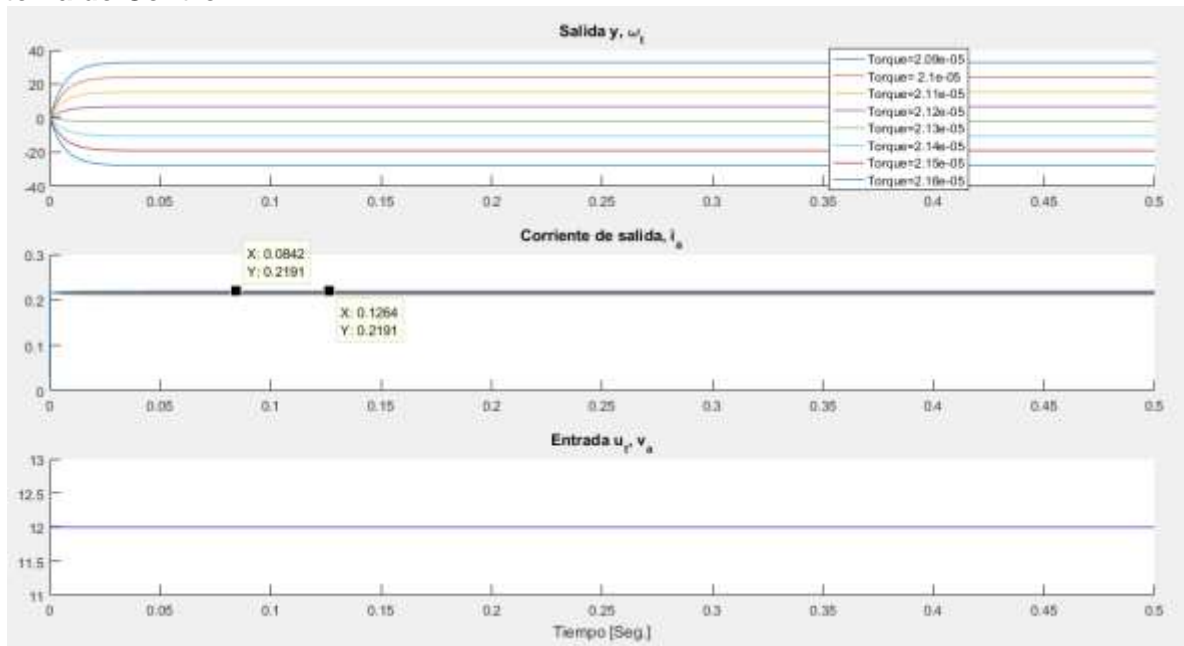
TI=2.09e-5 con paso de 1e-7.



Se puede observar que el límite del torque esta entre 2.12e-5 y 2.13e-5, para lo cual la velocidad angular sea cero lo que nos dice que el motor no podría funcionar con esta tensión de 12v de entrada y el torque dado.

- Mostrar simulaciones de 5 segundos que permitan observar la corriente  $i_a$  en todo momento y establecer su valor máximo como para dimensionar dispositivos electrónicos

## Facultad de Ciencia Exactas, Físicas y Naturales Sistema de Control II



Como se ve en la figura la corriente máxima está dada por el torque máximo, esta corriente es de aproximadamente 291mA.

- A partir de las curvas de mediciones de las variables graficadas en la Fig. 1-3, se requiere obtener el modelo del sistema considerando como entrada un escalón de 12V, como salida a la velocidad angular, y a partir de 0,1segundo se aplica un  $T_L$  aproximado de  $7,5 \cdot 10^2$  Nm. En el archivo Curvas\_Medidas\_Motor.xls están las mediciones, en la primera hoja los valores y en la segunda los nombres. Se requiere obtener el modelo dinámico, para establecer las constantes de la corriente.

Para obtener el modelo solo tomamos los valores antes de 0.1seg ya que en ese tiempo ya se puede obtener las muestras necesarias de la dinámica del sistema, por lo que obtenemos

```

sys_G_ang =

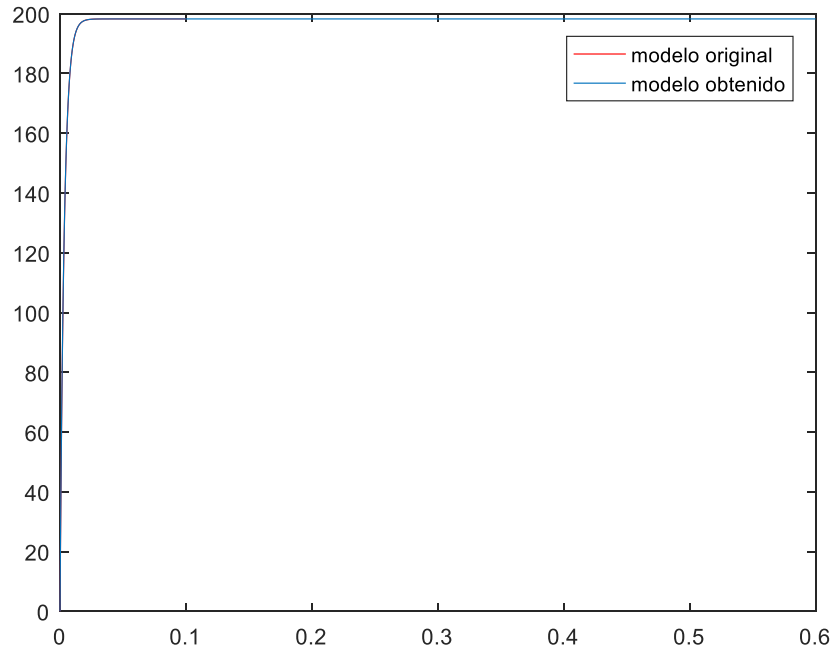
    -2.476e-06 s + 16.52
    -----
    2.049e-08 s^2 + 0.003304 s + 1

Continuous-time transfer function.
  
```

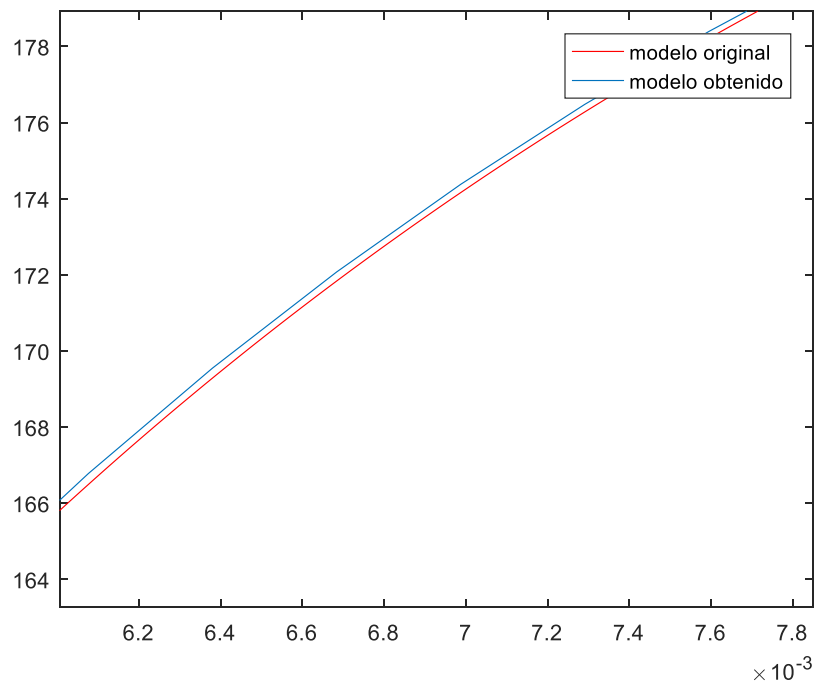
## Facultad de Ciencia Exactas, Físicas y Naturales

### Sistema de Control II

Cuya respuesta es:



Haciendo un zoom se puede observar la diferencia.

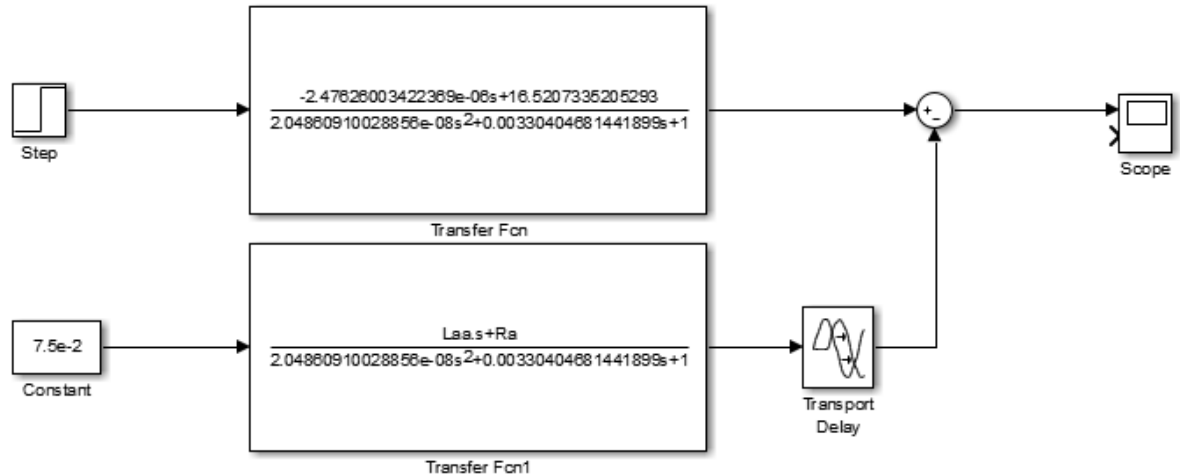


## Facultad de Ciencia Exactas, Físicas y Naturales

### Sistema de Control II

Ahora para corroborar el modelo vamos a realizar una simulación por medio de simulink y la función de transferencia obtenida sin despreciar el TI:

$$W_r(s) = \frac{k_i * V_a(s) - Tl * (L_{aa} * s + R_{aa})}{s^2 * L_{aa} * J + s * (J * R_{aa} + L_{aa} * B_m) + k_i * k_m + B_m * R_a}$$



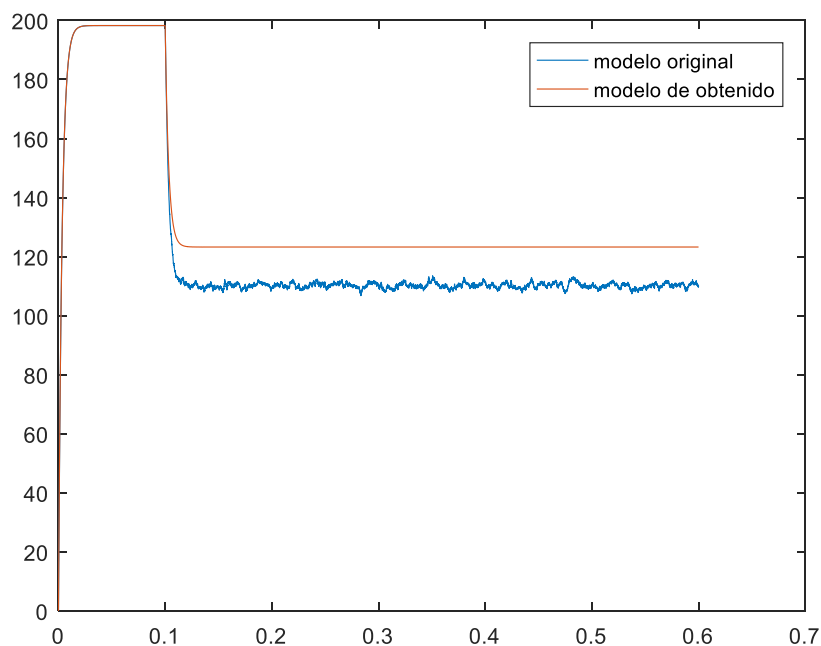
Los valores de  $L_{aa}$  y  $R_a$  se tomaron a modo de prueba, con el fin de probar el modelo.

$$L_{aa} = 336e^{-9} \text{ y } R_a = 1000\Omega$$

Obtenemos las siguientes figuras una vez exportando los datos desde simulink y plotando las 2 señales para su comparación:

## Facultad de Ciencia Exactas, Físicas y Naturales

### Sistema de Control II



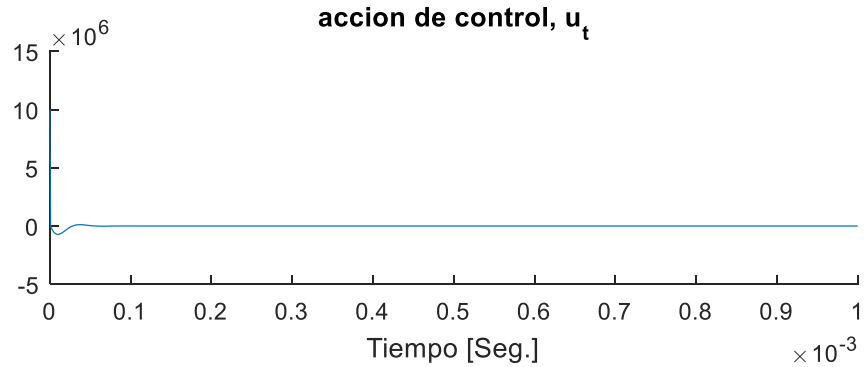
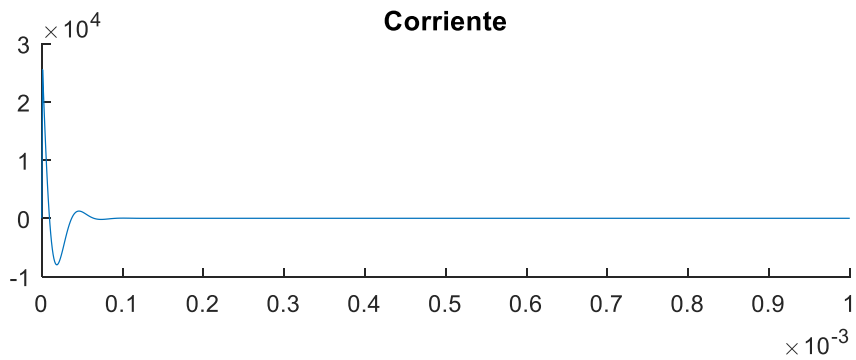
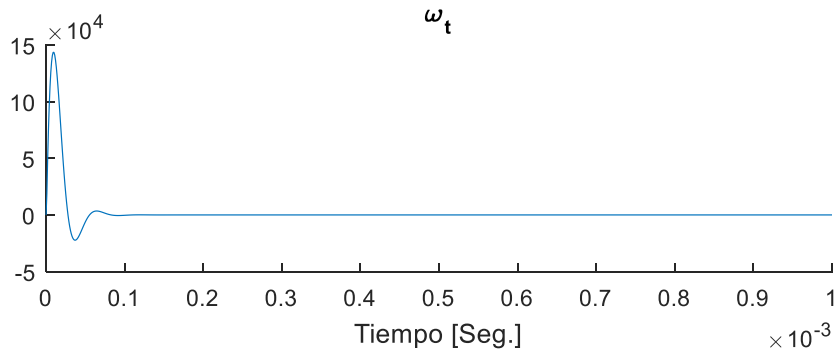
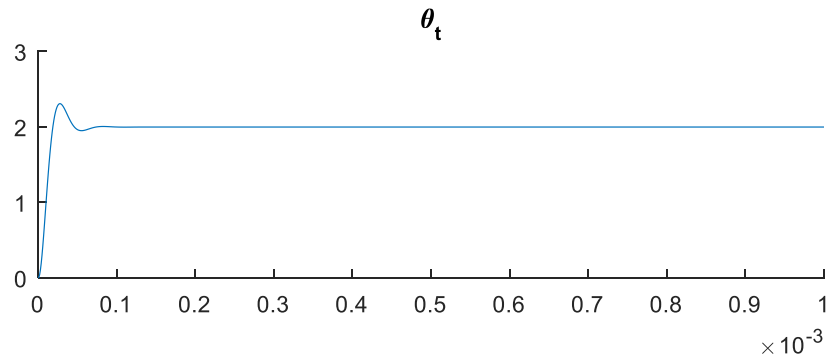
Se puede observar que el modelo obtenido responde de igual manera a la acción del torque (no es el mismo porque los valores de  $L_{aa}$  y  $R_a$  no son iguales) por lo que se podría concluir que el modelo obtenido es una muy buena aproximación.

- Implementar un PID en tiempo discreto para que el ángulo del motor permanezca en una referencia dada, por ejemplo 2 radianes. (Tip: partir de  $K_P=0,1$ ;  $K_I=0,01$ ;  $K_D=5$ ).

Ejecutando el código para la implementación de un PID obtenemos con los valores de  $K_p$ ,  $K_i$  y  $K_d$  dados como tip, además se utilizó un  $T_l = 0$ , se obtuvo:

## Facultad de Ciencia Exactas, Físicas y Naturales

### Sistema de Control II



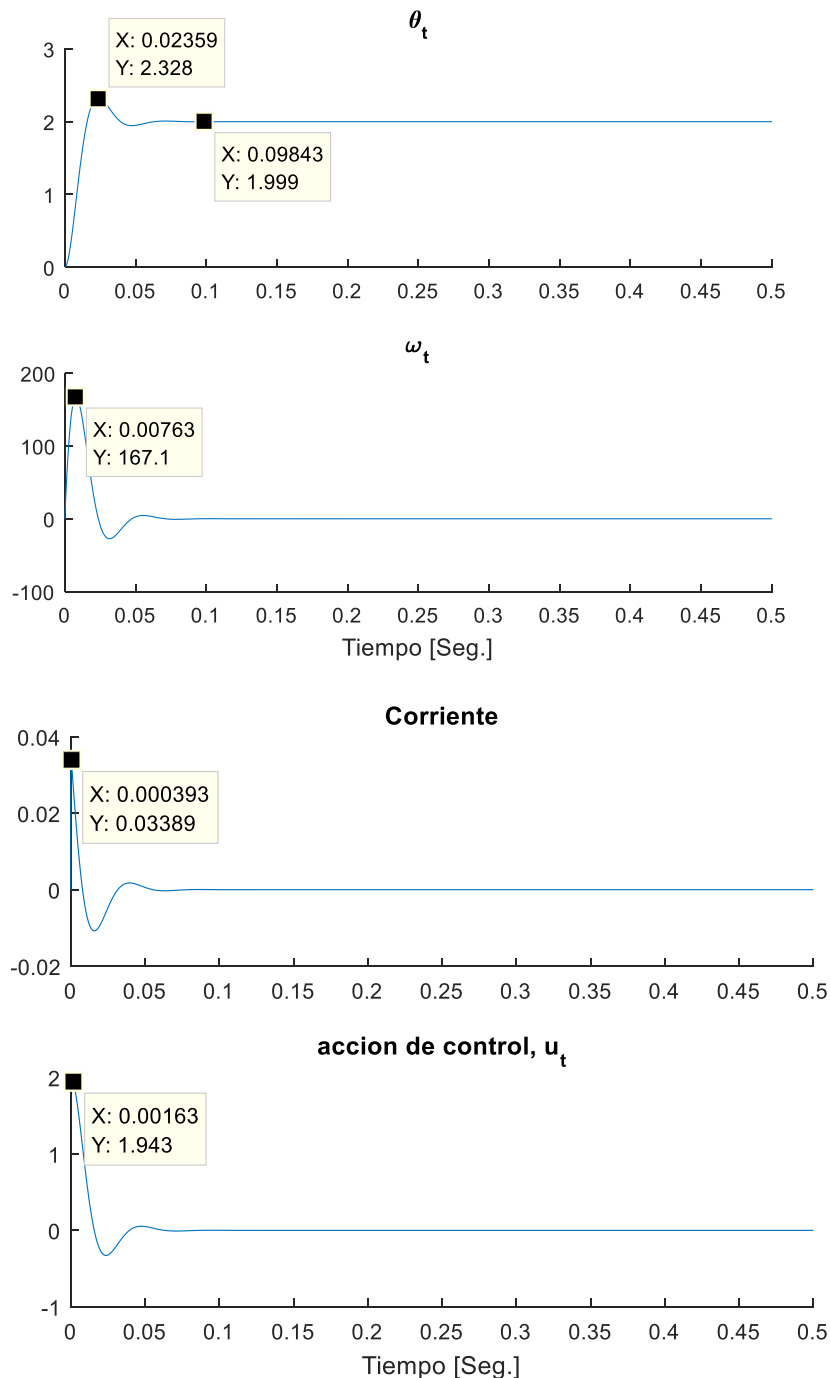
Como vemos con estos valores de  $K_p$ ,  $K_i$  y  $K_d$ , tenemos acciones de control, corriente y velocidad angular invariables, por lo que se optó por tomar otros valor de  $K_p$ ,  $K_i$  y  $K_d$ .



## Facultad de Ciencia Exactas, Físicas y Naturales

### Sistema de Control II

Con :  $K_p = 1, K_i = 0$  y  $K_d = 0$



Estos valores son mucho más razonables ya que las acciones de control, corriente y velocidad angular son más viables para un motor.

Si se quiere aumentar el tiempo de establecimiento y reducir el sobre pasamiento tendríamos que aumentar el  $K_d$  pero esto tiene un inconveniente (se explica en el apartado complicaciones).

## Facultad de Ciencia Exactas, Físicas y Naturales

### Sistema de Control II

El error en estado estable es muy chico por lo que agregar el termino integrador no haría falta en este caso, ya que este toma partido para corregir el error en estado estable. Igual mente agregar este término hacer tener un polo doble en el origen por lo que el sistema tendería a ser más inestable.

#### Lecciones aprendidas:

- Comprender un poco mejor el manejo de un PID.
- Uso de simulink dentro de Matlab, antes me resultaban 2 herramientas distintas ahora las pude unir.
- La importancia de tener en cuenta el torque máximo de un motor, y así dimensionar la corriente presente.
- Interpretación de gráficos para corroborar el correcto funcionamiento de los modelos.

#### Complicaciones:

- En el método de estimar la función de transferencia resulto complicado corroborarla por medio de una perturbación(torque), simplemente por código. Pero al usar simulink esto resulto mucho más fácil.
- el agregar  $K_d$  hace que se tengo un cero en el origen y como para controlar la posición tenemos un integrados por ende un polo en el origen, se cancelaria con el cero del termino derivativo, esto a su vez causa acciones de control muy grandes como se vio en la primera simulación del PID. Por lo tanto, el agregar el termino derivativo no es una muy buena opción en estos casos, se debería optar por un término derivativo desplazado.

#### Códigos utilizados.

##### Caso de estudio uno

```
%ejercicio 1 RLC parte simbolica
clc;clear all;
syms R L C i vc vin ip vcp
ip = (1/L)*vin-(1/L)*vc-(R/L)*i
vcp = 1/C * i
A = [[diff(ip,i) diff(ip,vc)]
     [diff(vcp,i) 0]];

B = [[diff(vcp,i)]
     [0]];
pretty(simplify(A))
pretty(simplify(B))
clc;clear all;
T=2e-3; At=1e-9; Kmax=T/At; t=linspace(0,T,Kmax);
R=2.2e3;L=10e-6;C=100e-9;vin=12;
Ip=0;Vcp=0;
```

## Facultad de Ciencia Exactas, Físicas y Naturales

### Sistema de Control II

```

I=zeros(1,Kmax);Vc=zeros(1,Kmax);u=linspace(0,0,Kmax);
%Condiciones iniciales
I(1)=0;Vc(1)=0;u(1)=vin;
A=[-R/L -1/L ; 1/C 0]; %eig(A) me da los autovalores de A que corresponden a
los polos de la ecuacion caracteristica
B=[1/L; 0];
E=[R 0];
tve(1)=0;I1(1)=0;Vc1(1)=0;x=[I(1) Vc(1)]' ;Vc_t(1)=0;Xop=[0 0]'; %punto de
operacion es cero
ii=0;
for i=1:Kmax-1
    ii=ii+At;
    if(ii>=1e-3)
        ii=0;
        vin = vin*-1;
    end
    u(i)=vin;
    %sistema real
    Ip =(1/L)*u(i)-(1/L)*Vc(i)-(R/L)*I(i);
    Vcp = 1/C * I(i);
    I(i+1)=I(i)+Ip*At;
    Vc(i+1)=Vc(i)+Vcp*At;
    %variables de sistema lineal
    xp=A*(x-Xop)+B*u(i);
    x=x+xp*At;
    Y=E*x;
    Vc_t(i+1)=Y(1);
    I1(i+1)=x(1);
    Vc1(i+1)=x(2);
    %tve(i+1)=tve(i)+At;
end
figure(1)
subplot(4,1,1);%hold on;
plot(t,I1,'b');title('corriente modelo lineal , i_t');
subplot(4,1,2);%hold on;
plot(t,Vc1,'r');title('tension Vc modelo lineal , Vc1_t');
subplot(4,1,3);%hold on;
plot(t,u,'b');title(' tension de entrada, Vin_t');
subplot(4,1,4);%hold on;
plot(t,Vc_t,'b');title(' tension Vr, Vr_t');
% figure(2)
% subplot(3,1,1);hold on;
% plot(t,I1,'b');title('corriente modelo lineal , Vc1_t');
% subplot(3,1,2);hold on;
% plot(t,Vc1,'b');title('tension Vc modelo lineal , Vc1_t');
% subplot(3,1,3);hold on;
% plot(t,u,'b');title(' tension de entrada, Vin_t');

```

## Facultad de Ciencia Exactas, Físicas y Naturales

### Sistema de Control II

```
clear all;close all;
num = xlsread('Curvas_Medidas_RLC.xls');
t=num(1:end,1);
i_t=num(1:end,2);
Vc_t=num(1:end,3);
opt = stepDataOptions;
opt.StepAmplitude = 12;

%t_inic=0.03 si tomo este tiempo obtengo distintos valores en la ecuacion
%caracteristica que hace que los valores de L,C sean dificil de obtener
%comercialmente
t_inic=0.0001
[val, lugar] = min(abs(t_inic-t)); %obtengo punto a punto el valor mas proximo al
t_inic y obtengo el min punto del vector t
y_t1=Vc_t(lugar);
t_t1=t(lugar);
ii=0;
ii=ii+1;
[val, lugar] =min(abs(2*t_inic-t));
t_2t1=t(lugar);
y_2t1=Vc_t(lugar);
[val, lugar] =min(abs(3*t_inic-t));
t_3t1=t(lugar);
y_3t1=Vc_t(lugar);

K=Vc_t(end)/opt.StepAmplitude

k1=(1/opt.StepAmplitude)*y_t1/K-1; %Afecto el valor del Escalon
k2=(1/opt.StepAmplitude)*y_2t1/K-1;
k3=(1/opt.StepAmplitude)*y_3t1/K-1;

be=4*k1^3*k3-3*k1^2*k2^2-4*k2^3+k3^2+6*k1*k2*k3;
alfa1=(k1*k2+k3-sqrt(be))/(2*(k1^2+k2));
alfa2=(k1*k2+k3+sqrt(be))/(2*(k1^2+k2));
beta=(k1+alfa2)/(alfa1-alfa2); %(2*k1^3+3*k1*k2+k3-sqrt(be))/(sqrt(be));
% alfa2= (k3 + k1*k2 + (4*k1^3*k3 - 3*k1^2*k2^2 + 6*k1*k2*k3 - 4*k2^3 +
k3^2)^(1/2))/(2*(k1^2 + k2));
% alfa1= (k3 + k1*k2 - (4*k1^3*k3 - 3*k1^2*k2^2 + 6*k1*k2*k3 - 4*k2^3 +
k3^2)^(1/2))/(2*(k1^2 + k2));
T1_ang=-t_t1/log(alfa1);
T2_ang=-t_t1/log(alfa2);
T3_ang=beta*(T1_ang-T2_ang)+T1_ang;
T1(ii)=T1_ang;
T2(ii)=T2_ang;
T3(ii)=T3_ang;
T3_ang=sum(T3/length(T3));
T2_ang=sum(T2/length(T2));
```

## Facultad de Ciencia Exactas, Físicas y Naturales

### Sistema de Control II

```
T1_ang=sum(T1/length(T1));
%ec_carac= conv([T1_ang 1],[T2_ang 1]);
sys_G_ang = tf([T3_ang 1],conv([T1_ang 1],[T2_ang 1]))
sys_G_ang = sys_G_ang *K
[y,t0] = step(sys_G_ang,opt);
%----Calculo de valores R,L,C
disp('Calculo de valores R,L,C');
ft_denominador = sys_G_ang.Denominator{1,1}/sys_G_ang.Denominator{1,1}(1);
%desnormalizo
% para la corriente para la corriente
% factor_de_escalado = 1;
%
L=1/((sys_G_ang.Numerator{1,1}(2)/sys_G_ang.Denominator{1,1}(1))*factor_de_escalado)
% R = (ft_denominador(2)*L)*factor_de_escalado
% C = 1/((ft_denominador(3)*L)*factor_de_escalado)

%tomando un valor de resistencia de resitencian
R=10
L=R/(ft_denominador(2))
C=1/(L*ft_denominador(3))
sys_G_obte = tf(K*[1/(L*C)],[1 (R/L) 1/(C*L)])
[y1,t1] = step(sys_G_obte,opt);

L_come = 4.5e-3; %no es un valor comercial pero se podria diseñar
R_come = 10;
C_come = 2200e-6;

sys_G_obte_come = tf(K*[1/(L_come*C_come)],[1 (R_come/L_come) 1/(C_come*L_come)])
[y2,t2] = step(sys_G_obte_come,opt);

figure(1)
plot(t,Vc_t,'r');hold on;
plot(t0,y);hold on;
plot(t1,y1);hold on;
plot(t2,y2);hold on;
title('Tension Vc_t');legend('respuesta original','respuesta del
modelo','respuesta con valores RLC no comerciales','Respuesta con valores RLC
comerciales');
```

### Caso de estudio dos:

```
clc;clear;%close all;
ii=0;t_etapa=1e-6;wRef=200;tF=0.5;
tp=0.05;%tiempo de la perturbacion
%Constantes del PID
%Kp=0.500;Ki=0.001;Kd=0.0001;color_='r';
```

## Facultad de Ciencia Exactas, Físicas y Naturales

### Sistema de Control II

```
%Kp=1;Ki=0;Kd=0.0001;color_='k';
Kp=9;Ki=1;Kd=0;color_='b';
Ts=t_etapa;
A1=((2*Kp*Ts)+(Ki*(Ts^2))+(2*Kd))/(2*Ts);
B1=(-2*Kp*Ts+Ki*(Ts^2)-4*Kd)/(2*Ts);
C1=Kd/Ts;
e=zeros(round(tF/t_etapa),1);u=15;max_u=12;
input=zeros(round(tF/t_etapa),1);
delta_Tl=1e-7;
Tl=2.09e-5; %torque maximo de 2.1e-5
for i=0:1:7
    X=-[0; 0;0;0];
    ii=0;
    x1=0;
    x2=0;
    x3=0;
    x4=0;
    for t=0:t_etapa:tF
        ii=ii+1;k=ii+2;
        X=modmotor(t_etapa, X, u,Tl);
        % e(k)=wRef-X(1); %ERROR
        % if t>=tp
        %     wRef=2;
        % end
        % delta_u = A1*e(k)+B1*e(k-1)+C1*e(k-2);
        delta_u=0;
        % if delta_u > max_u || delta_u < -max_u
        %     deta_u = 0;
        % end
        input(ii)=wRef;
        %e(k)=wRef-X(4); %ERROR
        %u=u+A1*e(k)+B1*e(k-1)+C1*e(k-2); %PID
        u=u+delta_u; %PID
        x1(ii)=X(1);%Omega
        x2(ii)=X(2);%wp
        x3(ii)=X(3);%ia
        x4(ii)=X(4);%theta
        %u=max_u * tanh(u/max_u); %para saturar la accion de control
        acc(ii)=u;
    end
    tl(i+1)=Tl;
    Tl=Tl+delta_Tl
    t=0:t_etapa:tF;
    subplot(3,1,1);hold on;
    plot(t,x1);title('Salida y, \omega_t');
    subplot(3,1,2);hold on;
    %plot(t,x4,'r');title('Salida y, \theta_t');
```

## Facultad de Ciencia Exactas, Físicas y Naturales

### Sistema de Control II

```
plot(t,x3);title('Corriente de salida, i_a');
end
legend(strcat('Torque= ',num2str(tl')));
subplot(3,1,3);hold on;
plot(t,acc,'b');title('Entrada u_t, v_a');
xlabel('Tiempo [Seg.]');
```

```
%-----punto 3-----
clc;clear all;close all;
num = xlsread('Curvas_Medidas_Motor.xls');
limite=6324;
t=num(1:end,1);
omega_t=num(1:end,2);
i_t=num(1:end,3);
opt = stepDataOptions;
opt.StepAmplitude = 12;
% %%%%%%%%% metodo chena %%%%%%%%%
t_inic=0.0001
%t_inic=0.06
[val, lugar] = min(abs(t_inic-t)); %obtengo punto a punto el valor mas proximo al
t_inic y obtengo el min punto del vector t
y_t1=omega_t(lugar);
t_t1=t(lugar);
ii=0;
ii=ii+1;
[val, lugar] =min(abs(2*t_inic-t));
t_2t1=t(lugar);
y_2t1=omega_t(lugar);
[val, lugar] =min(abs(3*t_inic-t));
t_3t1=t(lugar);
y_3t1=omega_t(lugar);

K=omega_t(end)/opt.StepAmplitude

k1=(1/opt.StepAmplitude)*y_t1/K-1; %Afecto el valor del Escalon
k2=(1/opt.StepAmplitude)*y_2t1/K-1;
k3=(1/opt.StepAmplitude)*y_3t1/K-1;

be=4*k1^3*k3-3*k1^2*k2^2-4*k2^3+k3^2+6*k1*k2*k3;
alfa1=(k1*k2+k3-sqrt(be))/(2*(k1^2+k2));
alfa2=(k1*k2+k3+sqrt(be))/(2*(k1^2+k2));
beta=(k1+alfa2)/(alfa1-alfa2); %(2*k1^3+3*k1*k2+k3-sqrt(be))/(sqrt(be));
% alfa2= (k3 + k1*k2 + (4*k1^3*k3 - 3*k1^2*k2^2 + 6*k1*k2*k3 - 4*k2^3 +
k3^2)^(1/2))/(2*(k1^2 + k2));
```

## Facultad de Ciencia Exactas, Físicas y Naturales

### Sistema de Control II

```
% alfa1= (k3 + k1*k2 - (4*k1^3*k3 - 3*k1^2*k2^2 + 6*k1*k2*k3 - 4*k2^3 +
k3^2)^(1/2))/(2*(k1^2 + k2));
T1_ang=-t_t1/log(alfa1);
T2_ang=-t_t1/log(alfa2);
T3_ang=beta*(T1_ang-T2_ang)+T1_ang;
T1(ii)=T1_ang;
T2(ii)=T2_ang;
T3(ii)=T3_ang;
T3_ang=sum(T3/length(T3));
T2_ang=sum(T2/length(T2));
T1_ang=sum(T1/length(T1));
%ec_carac= conv([T1_ang 1],[T2_ang 1]);
sys_G_ang = tf([T3_ang 1],conv([T1_ang 1],[T2_ang 1]))
sys_G_ang = sys_G_ang *K
[y,t0] = step(sys_G_ang,opt,0.6);
%obtengo el los valores de simulacion desde simulink
%correr antes el archivo modelo_motor_con_pertubacion en simulink
t1 = curba_omega.time;
y1 = curba_omega.signals.values;
%FT para la pertubacion TL
Tl=7.5e-2;
Laa=336e-6;
Ra=55.6;
Gt=tf(Tl*[Laa Ra],sys_G_ang.Denominator{1});

figure(1)
plot(t,omega_t,'r');hold on;
plot(t1,y1);
%plot(t0,y);hold on;
legend('modelo original','modelo obtenido');
```

```
%PID
clc;clear all;close all;
ii=0;t_etapa=1e-6;wRef=2;tF=0.5;X=-[0; 0;0;0];
tp=0.05;%tiempo de la pertubacion
%Constantes del PID
%Kp=0.1;Ki=0.01;Kd=5;color_='r';
Kp=1;Ki=1;Kd=0;color_='k';
%Kp=9;Ki=1;Kd=0;color_='b';
Ts=t_etapa;
A1=((2*Kp*Ts)+(Ki*(Ts^2))+(2*Kd))/(2*Ts);
B1=(-2*Kp*Ts+Ki*(Ts^2)-4*Kd)/(2*Ts);

C1=Kd/Ts;
e=zeros(round(tF/t_etapa),1);u=0;max_u=12;
```



## Facultad de Ciencia Exactas, Físicas y Naturales

### Sistema de Control II

```
input=zeros(round(tF/t_etapa),1);
delta_Tl=1e-7;
Tl=0;%2.09e-5; %torque maximo de 2.1e-5
ii=0;
for t=0:t_etapa:tF
    ii=ii+1;k=ii+2;
    X=modmotor(t_etapa, X, u,Tl);
    e(k)=wRef-X(4); %ERROR
    %u=u+A1*e(k)+B1*e(k-1)+C1*e(k-2); %PID
    delta_u = A1*e(k)+B1*e(k-1)+C1*e(k-2);
    %    satura la accion de control
    %    if delta_u > max_u || delta_u < -max_u
    %        detal_u = 0;
    %    end
    u=u+delta_u; %PID
    %u=max_u * tanh(u/max_u); %para saturar la accion de control
    x1(ii)=X(1);%Omega
    x2(ii)=X(2);%wp
    x3(ii)=X(3);%ia
    x4(ii)=X(4);%theta
    acc(ii)=u;
end
t=0:t_etapa:tF;
figure(1)
subplot(2,1,1);hold on;
plot(t,x4);title('\theta_t');
subplot(2,1,2);hold on;
plot(t,x1);title('\omega_t');
xlabel('Tiempo [Seg.]');

figure(2)
subplot(2,1,1);hold on;
plot(t,x3);title('Corriente');
subplot(2,1,2);hold on;
plot(t,acc);title('accion de control, u_t');
xlabel('Tiempo [Seg.]');
```

```
%motor
function [X]=modmotor(t_etapa, xant, accion,Tl)
Laa=366e-6; J=5e-9;Ra=55.6;B=0;Ki=6.49e-3;Km=6.53e-3;
Va=accion;
h=1e-7;TL=Tl;
omega= xant(1);
w= xant(2);
ia=xant(3);
```

## Facultad de Ciencia Exactas, Físicas y Naturales

### Sistema de Control II

```
theta = xant(4);

for ii=1:t_etapa/h
    wpp = (-wp*(Ra*J+Laa*B)-omega*(Ra*B+Ki*Km)+Va*Ki)/(J*Laa);
    iap=(-Ra*ia-Km*omega+Va)/Laa;
    wp=wp+h*wpp;
    wp=wp-((1/J)*TL); %torque
    ia=ia+iap*h;
    omega = omega + h*wp;
    thetap = omega;
    theta = theta + h*thetap;
end
X=[omega,wp,ia,theta];
```

### Caso de estudio 3

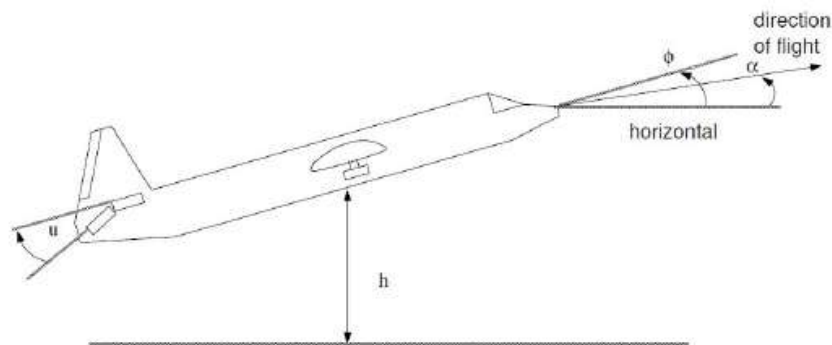


Fig. 1-4. Modelo de sistema de altitud en un avión, extraído de [1].

Para el caso de la Fig. 1-4, modelo válido sólo para pequeños ángulos, se tiene

$$\begin{cases} \dot{\alpha} = a(\phi - \alpha) \\ \ddot{\phi} = -\omega^2(\phi - \alpha - b \cdot u) \\ \dot{h} = c\alpha \end{cases} \quad (1-8)$$

$\omega$  representa la frecuencia natural, y los coeficientes  $a$   $b$  son constantes positivas,  $u$  es la variables manipulada (**timón de profundidad**) y es proporcional a la posición de los elevadores,  $\phi$  (**ángulo de cabeceo**) en radianes, vuela a  $c$  metros por segundos, su trayectoria de vuelo forma un ángulo  $\alpha$  con la horizontal ( $\alpha > 0$  *sube*, si  $\alpha < 0$  *desciende*).

1. Obtener el sistema lineal en variables de estado para el equilibrio

$$x_{op} = [0 \quad 0 \quad 0 \quad 0]^T.$$

## Facultad de Ciencia Exactas, Físicas y Naturales

### Sistema de Control II

#### Desarrollo:

Tomando como vector de estado  $x = [\alpha \quad \phi \quad \dot{\phi} \quad h]^T$ .

Aplicando:

$$\begin{cases} \dot{x} = x * A + B * u \\ y = x * C + D * u \end{cases}$$

con:

$$A = \begin{pmatrix} \frac{\partial \dot{\alpha}}{\partial \alpha} & \frac{\partial \dot{\alpha}}{\partial \phi} & \frac{\partial \dot{\alpha}}{\partial \dot{\phi}} & \frac{\partial \dot{\alpha}}{\partial h} \\ \frac{\partial \dot{\phi}}{\partial \alpha} & \frac{\partial \dot{\phi}}{\partial \phi} & \frac{\partial \dot{\phi}}{\partial \dot{\phi}} & \frac{\partial \dot{\phi}}{\partial h} \\ \frac{\partial \ddot{\phi}}{\partial \alpha} & \frac{\partial \ddot{\phi}}{\partial \phi} & \frac{\partial \ddot{\phi}}{\partial \dot{\phi}} & \frac{\partial \ddot{\phi}}{\partial h} \\ \frac{\partial \dot{h}}{\partial \alpha} & \frac{\partial \dot{h}}{\partial \phi} & \frac{\partial \dot{h}}{\partial \dot{\phi}} & \frac{\partial \dot{h}}{\partial h} \end{pmatrix}_{x_{op}, u_{op}} ; B = \begin{pmatrix} \frac{\partial \dot{\alpha}}{\partial u} \\ \frac{\partial \dot{\phi}}{\partial u} \\ \frac{\partial \ddot{\phi}}{\partial u} \\ \frac{\partial \dot{h}}{\partial u} \end{pmatrix}_{x_{op}, u_{op}}$$

Tomando como salida solo  $\alpha, \phi$  y  $h$ .

$$C = \begin{pmatrix} \frac{\partial \alpha}{\partial \alpha} & \frac{\partial \alpha}{\partial \phi} & \frac{\partial \alpha}{\partial \dot{\phi}} & \frac{\partial \alpha}{\partial h} \\ \frac{\partial \phi}{\partial \alpha} & \frac{\partial \phi}{\partial \phi} & \frac{\partial \phi}{\partial \dot{\phi}} & \frac{\partial \phi}{\partial h} \\ \frac{\partial h}{\partial \alpha} & \frac{\partial h}{\partial \phi} & \frac{\partial h}{\partial \dot{\phi}} & \frac{\partial h}{\partial h} \end{pmatrix}_{x_{op}, u_{op}} ; D = \begin{pmatrix} \frac{\partial \alpha}{\partial u} \\ \frac{\partial \phi}{\partial u} \\ \frac{\partial h}{\partial u} \end{pmatrix}_{x_{op}, u_{op}}$$

Desarrollando a través del simbólico de Matlab obtenemos los siguientes resultados:

## Facultad de Ciencia Exactas, Físicas y Naturales

### Sistema de Control II

Matriz A :

$$\begin{bmatrix} -a & a & 0 & 0 \\ 0 & 0 & 1 & 0 \\ 2 & 2 & 0 & 0 \\ w & -w & 0 & 0 \\ c & 0 & 0 & 0 \end{bmatrix}$$

Reemplazando

A =

|         |         |        |   |
|---------|---------|--------|---|
| -0.0500 | 0.0500  | 0      | 0 |
| 0       | 0       | 1.0000 | 0 |
| 4.0000  | -4.0000 | 0      | 0 |
| 50.0000 | 0       | 0      | 0 |

Matriz B :

$$\begin{bmatrix} 0 \\ 0 \\ 0 \\ 2 \\ b w \\ 0 \end{bmatrix}$$

Reemplazando

B =

|    |
|----|
| 0  |
| 0  |
| 20 |
| 0  |

Como la matriz C y D salen directo por pura inspección tenemos:

$$C = \begin{pmatrix} 1 & 0 & 0 & 0 \\ 0 & 1 & 0 & 0 \\ 0 & 0 & 0 & 1 \end{pmatrix}; D = 0.$$

## Facultad de Ciencia Exactas, Físicas y Naturales

### Sistema de Control II

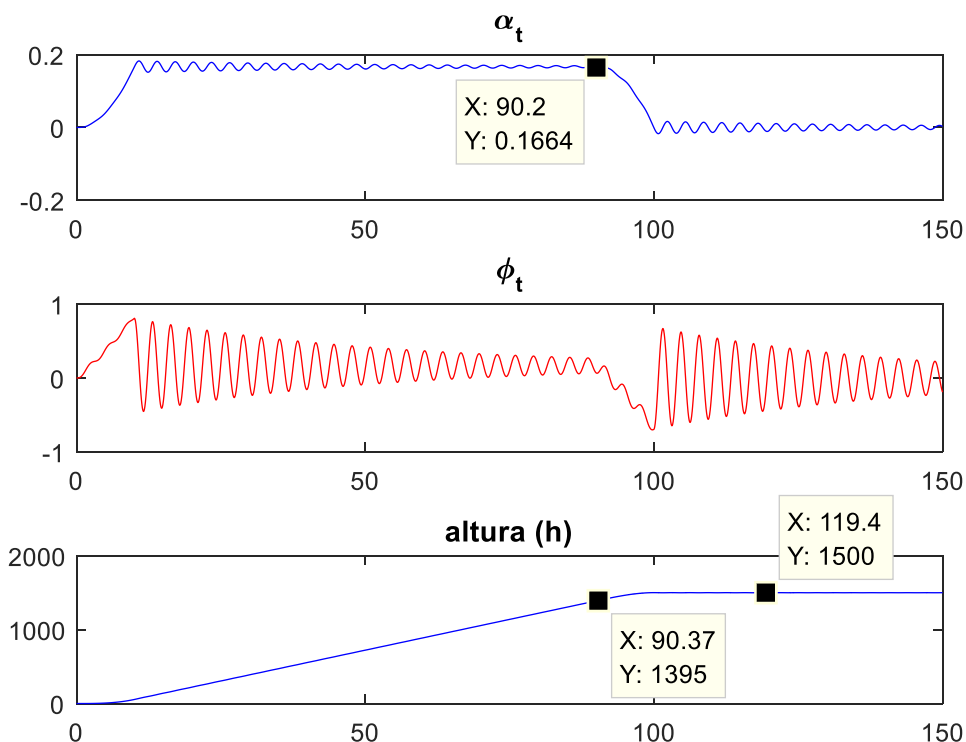
- Obtener la solución numérica del sistema lineal para evaluar cuantitativamente el comportamiento con intención de verificar el correcto planteo. Para hacerlo, se le asignan los valores siguientes a los parámetros, son  $\omega=2$ ;  $a=0,05$ ;  $b=5$ ;  $c=100$  m/s, (es decir, 360Km/h),  $\Delta t = 10^{-3}$ ; y el tiempo de simulación de 5 segundos.

#### Desarrollo:

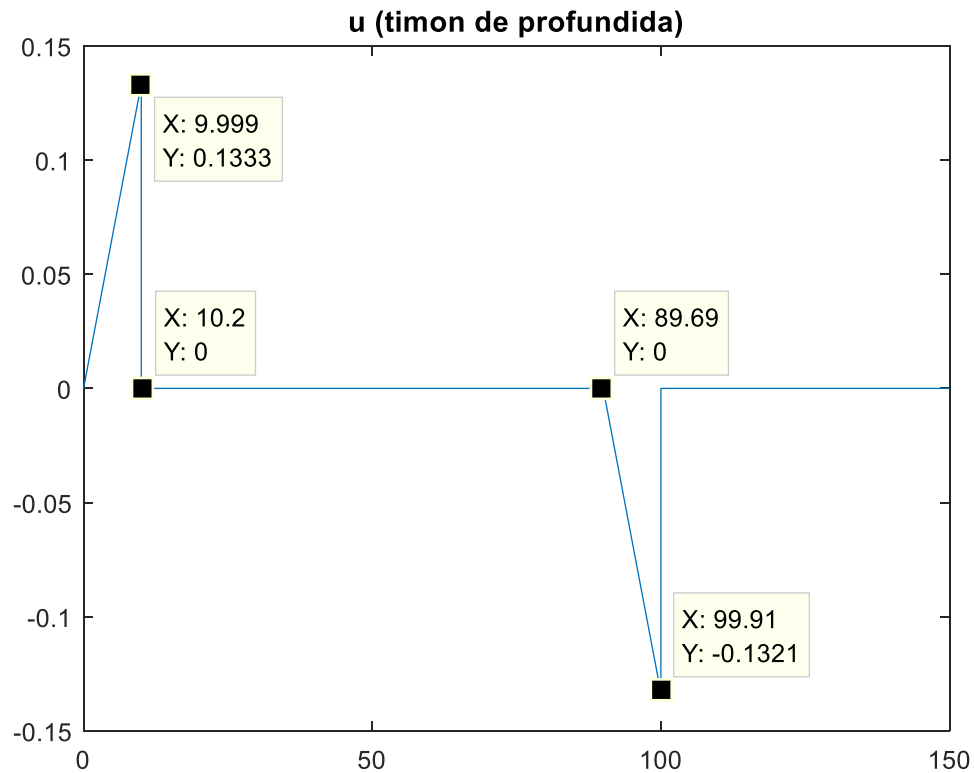
Una primera simulación con un tiempo de 150 seg. Vemos que si la variables  $u$  (timón de profundidad) arranca en 0 y se va moviendo lentamente hacia arriba hasta los 10 seg, después pasa a 0.

El ángulo  $\alpha$  es positivo en aumento durante los 10 seg, por lo que el avión cada vez está a mayor altura. El ángulo de cabeceo  $\phi$  también indica que el avión está subiendo. Igual mente se ven las oscilaciones que se tienen dada por la respuesta, hasta que se estabiliza como se observa se van haciendo cada vez más chica con el tiempo.

A los 90 seg  $u$  empieza a moverse hacia abajo, y se tiene que  $\alpha$  empieza a bajar por lo que el avión pierde altura, como se ve que en 90 seg la pendiente en la altura disminuye, hasta que se llega a los 100 seg donde  $u$  vuelve a cero y el avión queda a una cierta altura.



**Facultad de Ciencia Exactas, Físicas y Naturales**  
**Sistema de Control II**

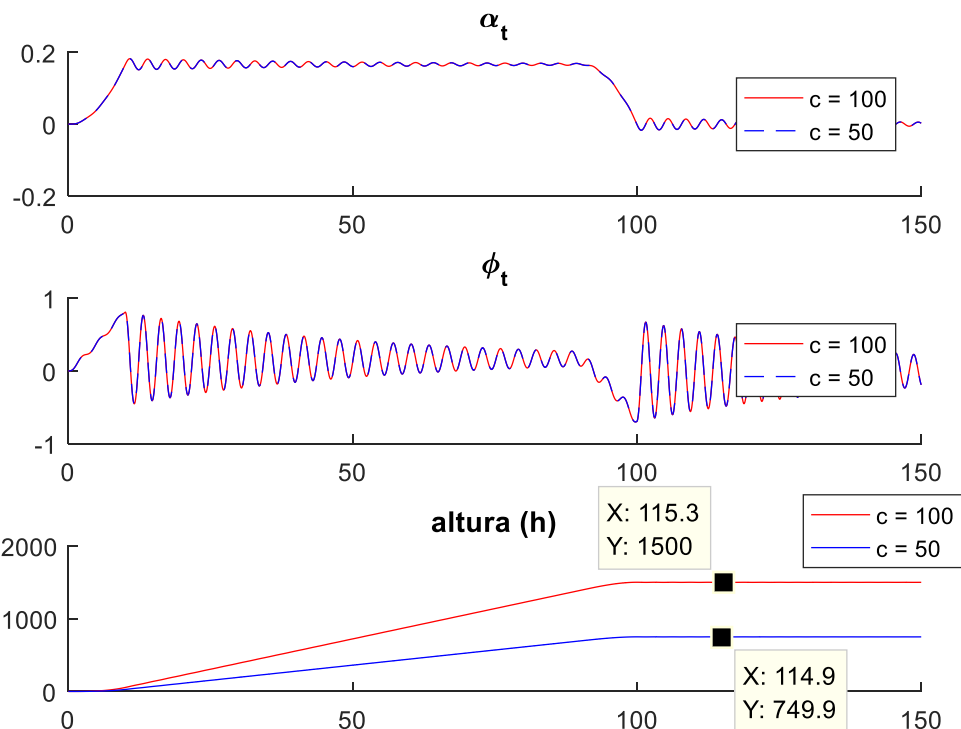


3. Obtener la solución numérica del sistema lineal para  $c=50$  m/s, (es decir, 180Km/h),  $\Delta t = 10^{-3}$  y el tiempo de simulación de 20 segundos.

Como es de esperarse a disminuir  $c$  entonces el avión llega a menos altura en los mismo puntos que en la anterior simulación, y las frecuencias de oscilación siguen igual.

## Facultad de Ciencia Exactas, Físicas y Naturales

### Sistema de Control II



#### Lecciones aprendidas:

- Entender cómo funciona el timón de profundidad de un avión y un poco mejor sus ejes.
- Mejor manejo de la herramienta simbólica de Matlab.
- Mayor comprensión cuantitativa de los resultados.
- Obtención del modelo en variables de estados.

#### Complicaciones:

- Entendimiento de las variables de interés del modelo.  
Algunos links útiles fueron:  
[https://es.wikipedia.org/wiki/Tim%C3%B3n\\_de\\_profundidad](https://es.wikipedia.org/wiki/Tim%C3%B3n_de_profundidad)  
<https://www.sociedad aeronautica.org/control-aviones/>  
[https://es.wikipedia.org/wiki/Ejes\\_del\\_avi%C3%B3n#:~:text=El%20eje%20lateral%20o%20transversal,trav%C3%A9s%20del%20tim%C3%B3n%20de%20profundidad.](https://es.wikipedia.org/wiki/Ejes_del_avi%C3%B3n#:~:text=El%20eje%20lateral%20o%20transversal,trav%C3%A9s%20del%20tim%C3%B3n%20de%20profundidad.)
- Herramienta simbólica de Matlab.

#### Código utilizado

```
%simbolico
clc;clear all
syms u alfa alfa_p h h_p fi fi_p fi_pp a b c w
alfa_p = a*(fi-alfa);
```

## Facultad de Ciencia Exactas, Físicas y Naturales

### Sistema de Control II

```

fi_pp = -w^2*(fi - alfa - b*u);
h_p = c*alfa;

A =
[subs(subs(subs(subs(diff(alfa_p,alfa),'alfa',0),'fi',0),'fi_p',0),'h',0),...
subs(subs(subs(subs(diff(alfa_p,fi),'alfa',0),'fi',0),'fi_p',0),'h',0),...
subs(subs(subs(subs(diff(alfa_p,fi_p),'alfa',0),'fi',0),'fi_p',0),'h',0),...
subs(subs(subs(subs(diff(alfa_p,h),'alfa',0),'fi',0),'fi_p',0),'h',0)];
[0 0 1 0];
[subs(subs(subs(subs(diff(fi_pp,alfa),'alfa',0),'fi',0),'fi_p',0),'h',0),...
subs(subs(subs(subs(diff(fi_pp,fi),'alfa',0),'fi',0),'fi_p',0),'h',0),...
subs(subs(subs(subs(diff(fi_pp,fi_p),'alfa',0),'fi',0),'fi_p',0),'h',0),...
subs(subs(subs(subs(diff(fi_pp,h),'alfa',0),'fi',0),'fi_p',0),'h',0)];
[subs(subs(subs(subs(diff(h_p,alfa),'alfa',0),'fi',0),'fi_p',0),'h',0),...
subs(subs(subs(subs(diff(h_p,fi),'alfa',0),'fi',0),'fi_p',0),'h',0),...
subs(subs(subs(subs(diff(h_p,fi_p),'alfa',0),'fi',0),'fi_p',0),'h',0),...
subs(subs(subs(subs(diff(h_p,h),'alfa',0),'fi',0),'fi_p',0),'h',0)];
];

B=[subs(subs(subs(subs(diff(alfa_p,u),'alfa',0),'fi',0),'fi_p',0),'h',0);
0;
subs(subs(subs(subs(diff(fi_p,u),'alfa',0),'fi',0),'fi_p',0),'h',0);
subs(subs(subs(subs(diff(fi_pp,u),'alfa',0),'fi',0),'fi_p',0),'h',0);
subs(subs(subs(subs(diff(h_p,u),'alfa',0),'fi',0),'fi_p',0),'h',0)];

disp('Matriz A :')
pretty(simplify(A))
disp('Reemplazando')
a=0.05;b=5;c=50;w=2;
A=[-a a 0 0;
0 0 1 0;
w^2 -w^2 0 0;
c 0 0 0]
disp('Matriz B :')
pretty(simplify(B))
disp('Reemplazando')
B=[0;
0;
b*w^2;
0]

```



## Facultad de Ciencia Exactas, Físicas y Naturales

### Sistema de Control II

```
%variables
clc;clear all;close all;
T=150; At=1e-3; Kmax=T/At; t=linspace(0,T,Kmax);
a=0.05;b=5;c=50;w=2;
alfa_p=0;fi_p=0;fi_pp=0;h_p=0;
alfa=zeros(1,int32(Kmax));fi=zeros(1,int32(Kmax));fi_p=zeros(1,int32(Kmax));h=zeros(1,int32(Kmax));
u=linspace(0,0,int32(Kmax));
A=[-a a 0 0;
    0 0 1 0;
    w^2 -w^2 0 0;
    c 0 0 0];
B=[0;
    0;
    b*w^2;
    0];
% C=[1 0 0 0;
%     0 1 0 0;
%     0 0 0 1]
% D=0;
%condiciones iniciales
alfa(1)=0;fi(1)=0;fi_p(1)=0;h(1)=0;u(1)=0;
Xop=[0 0 0 0]';x=[alfa(1) fi(1) fi_p(1) h(1)]';
alfa_l(1)=0;fi_l(1)=0;fi_p_l(1)=0;h_l(1)=0;
ii = 0;
flag=0;
flagl=0;
for i=1:Kmax-1
    ii=ii+At;
    if(ii>=100)
        u(i)=0;
        flagl = 1;
    end
    if(ii>=90 && ~flagl)
        u(i) = u(i-1) - 2*(1/Kmax);
        %         if(u(i)<0)
        %             u(i)=0;
        %         end
        flag = 1;
    end
    if(ii>=10 && ~flag)
        u(i) = 0;
    else
        u(i+1)=u(i)+ 2*(1/Kmax);
    end
    alfa_p = a*(fi(i) - alfa(i));
    fi_pp = (-w^2)*(fi(i)-alfa(i)-(b*u(i)));
```

## Facultad de Ciencia Exactas, Físicas y Naturales Sistema de Control II

```

h_p      = c*alfa(i);
alfa(i+1) = alfa(i) + alfa_p*At;
fi_p(i+1) = fi_p(i) + fi_pp*At;
fi(i+1)   = fi(i) + fi_p(i)*At;
h(i+1)    = h(i) + h_p*At;
%variables de sistema lineal
xp        =A*(x-Xop)+B*u(i);
x         =x+xp*At;
%Y=C*x;
alfa_l(i+1)=x(1);
fi_l(i+1)  =x(2);
fi_p_l(i+1)=x(3);
h_l(i+1)   =x(4);
end
figure(1)
subplot(3,1,1);%hold on;
plot(t,alfa_l,'b');title('\alpha_t');
subplot(3,1,2);%hold on;
plot(t,fi_l,'r');title('\phi_t');
% subplot(4,1,3);%hold on;
% plot(t,fi_p_l,'b');title('fi_p');
subplot(3,1,3);%hold on;
plot(t,h_l,'b');title('altura (h)');
figure(2)
plot(t,u);title('u (timon de profundida)');

```

### Caso de estudio 4

#### Caso de estudio 4. Sistema no lineal de cuatro variables de estado

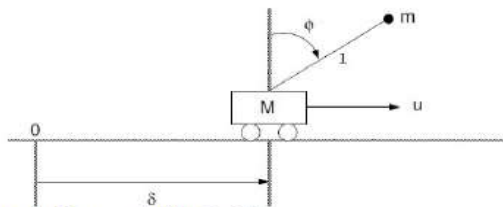


Fig. 1-5. Sistemas para modelar, extraído de [1].

Para el caso del esquema del péndulo invertido de la Fig. 1-5 se tiene,

$$\begin{cases} (M+m)\ddot{\delta} + m l \ddot{\phi} \cos \phi - m l \dot{\phi}^2 \sin \phi + F \dot{\delta} = u \\ l \ddot{\phi} - g \sin \phi + \ddot{\delta} \cos \phi = 0 \end{cases} \quad (9)$$

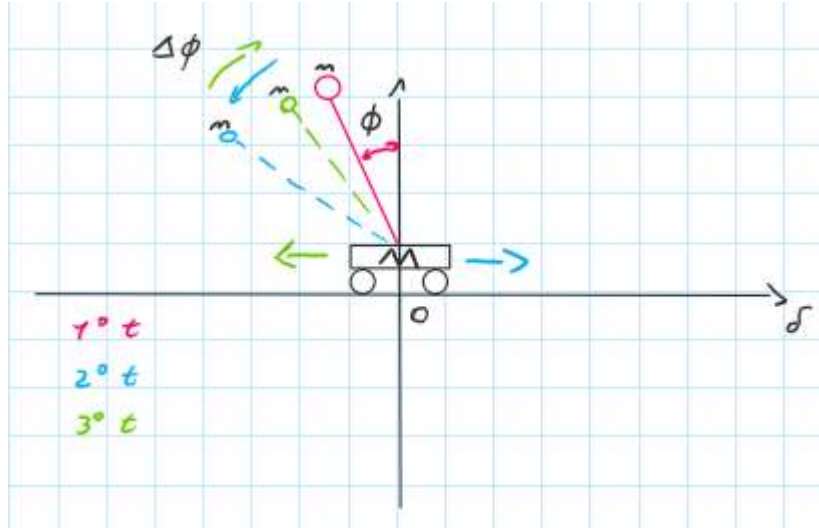
donde el sistema lineal en variables de estado  $x = [\delta \quad \dot{\delta} \quad \phi \quad \dot{\phi}]^T$ , con los valores de los coeficientes de  $m=0,1$ ;  $F=0,1$ ;  $l=0,6$ ;  $g=9,8$ ;  $M=0,5$  y  $\Delta t=10^{-4}$  seg, tomando un tiempo de simulación de 5 segundos con  $u=0$ .

## Facultad de Ciencia Exactas, Físicas y Naturales Sistema de Control II

- Obtener simulaciones del sistema (9) en las condiciones iniciales  $x_{op} = (0 \ 0 \ -0.01 \ 0)^T$  y  $x_{op} = (0 \ 0 \ 3.2 \ 0)^T$ , empleando una integración Euler con  $\Delta t = 10^{-4}$ . El tiempo de simulación será de 10 segundos en cada caso, con  $u=0$ .

Desarrollo:

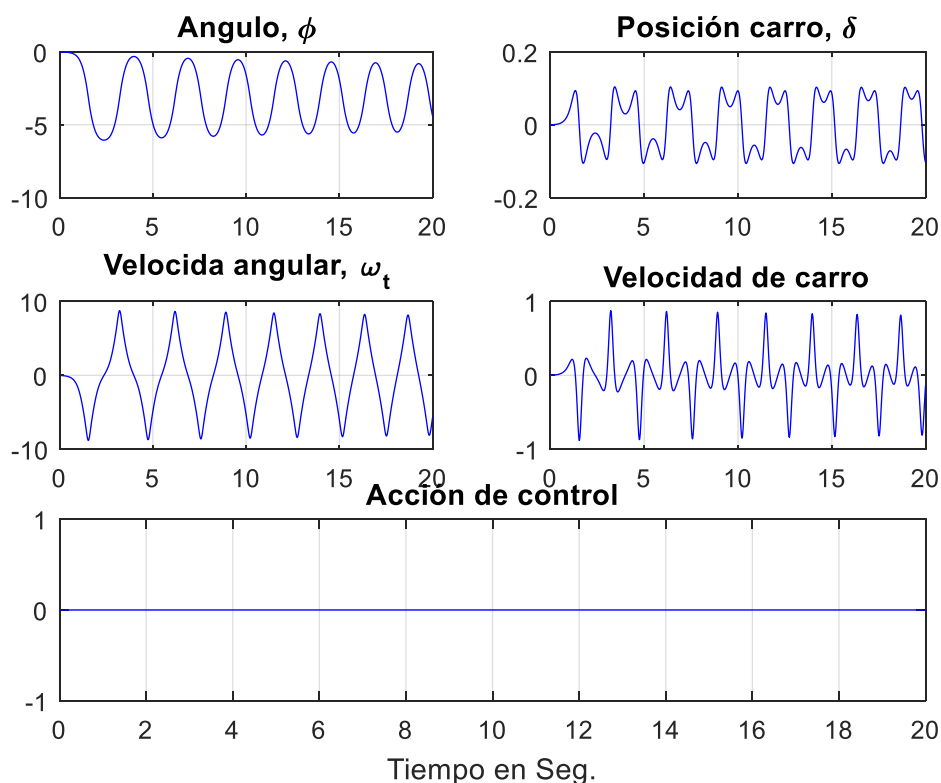
$$\text{Con: } x_{op} = (0 \ 0 \ -0.01 \ 0)^T$$



Esquema simplificado con tres tiempos distintos del desplazamiento angular.

## Facultad de Ciencia Exactas, Físicas y Naturales

### Sistema de Control II

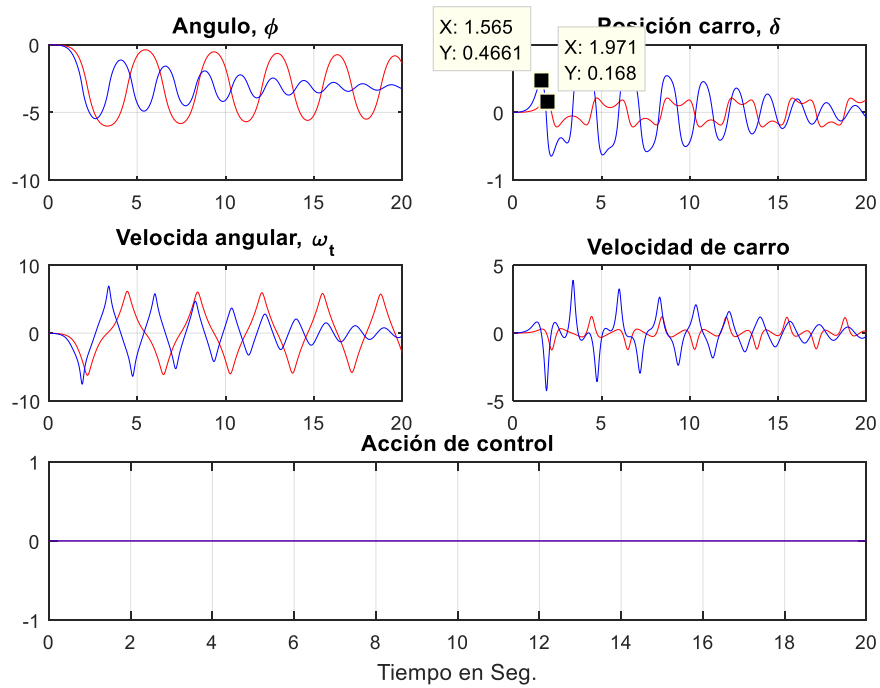


Vemos que debido a que la masa chica empieza a caer por lo que el ángulo crece negativamente, debido a sus fuerzas que produce sobre el eje horizontalmente hace que la masa grande (carro) se desplace un  $\Delta\delta$  hacia la derecha, después se ve como el carro trata de estabilizar el péndulo haciendo un cambio de dirección rápido y el ángulo empieza a decrementar, hasta que se vuelve a repetir lo anterior y la posición del carro nunca se estabiliza.

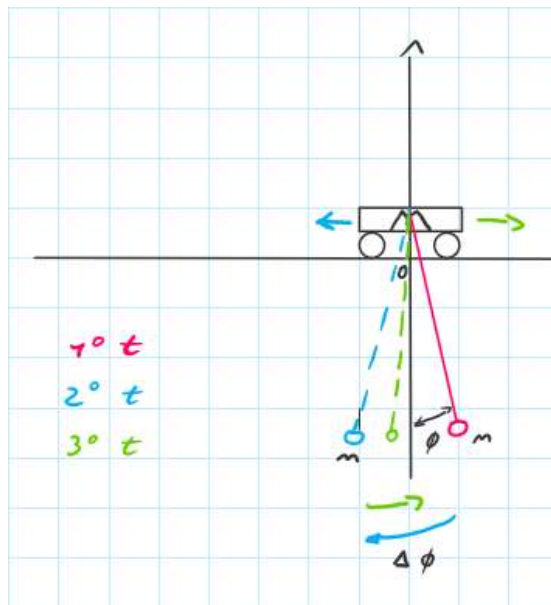
Podemos hacer una simulación con una  $M$  más chica y ver como se obtiene un desplazamiento más grande al inicio, visto en la siguiente figura la gráfica azul.

## Facultad de Ciencia Exactas, Físicas y Naturales

### Sistema de Control II



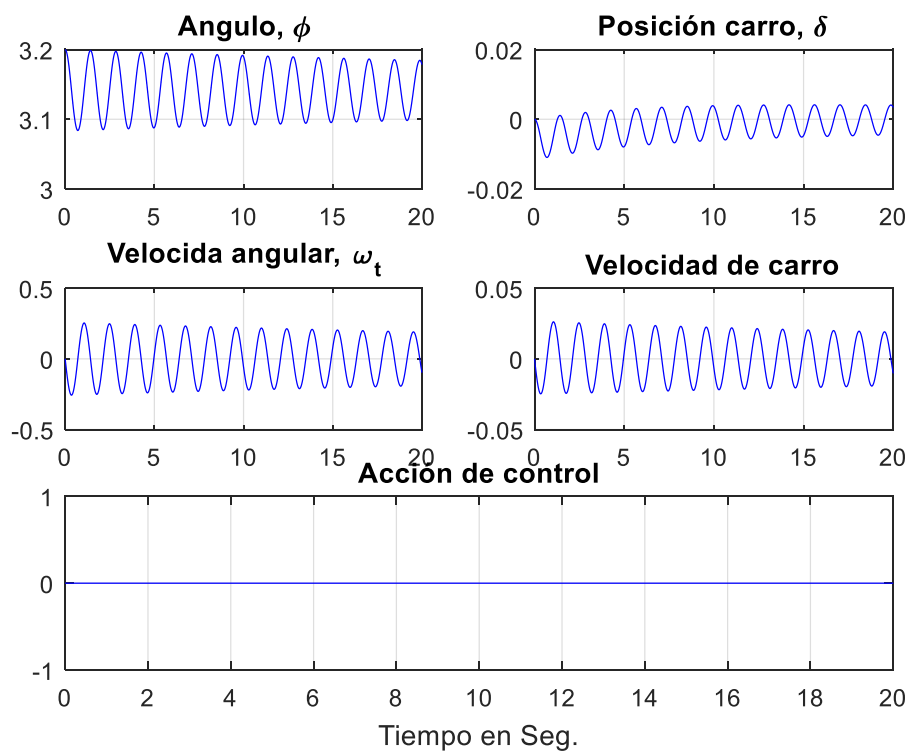
$$\text{Con : } x_{op} = (0 \quad 0 \quad 3.2 \quad 0)^T$$



Esquema simplificado con 3  
tiempos distintos del  
desplazamiento angular.

## Facultad de Ciencia Exactas, Físicas y Naturales

### Sistema de Control II



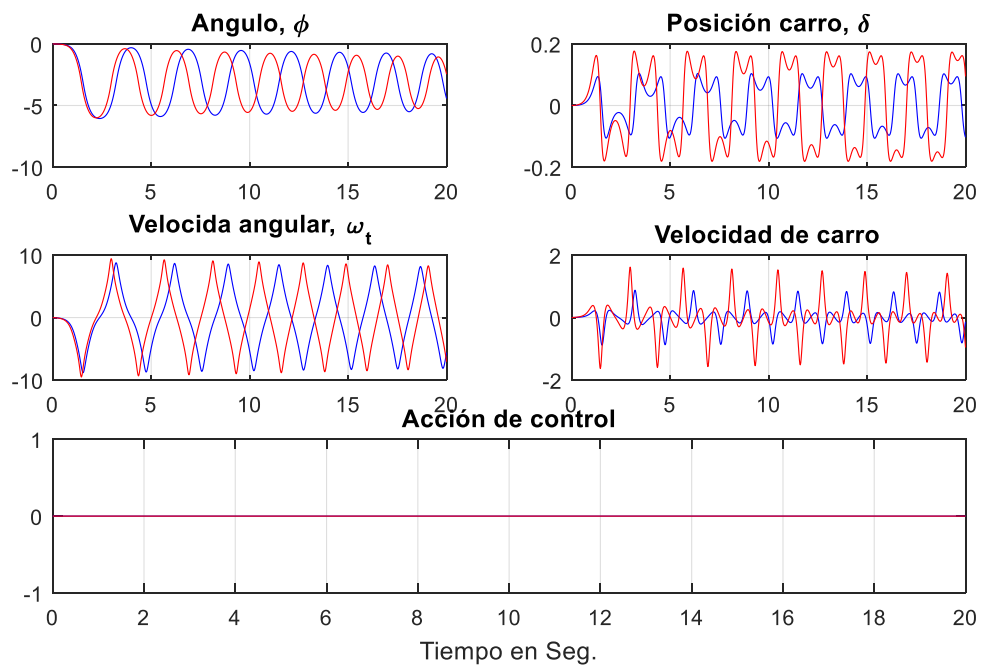
Con un ángulo inicial más grande se observa una oscilación más suave, con menores recorridos de la posición del carro y el ángulo esto se debe a que está más cerca del equilibrio.

2. Modificar la masa  $m$  al doble y repetir la operación.

$$\text{Con: } \mathbf{x}_{op} = (0 \quad 0 \quad -0.01 \quad 0)^T$$

## Facultad de Ciencia Exactas, Físicas y Naturales

### Sistema de Control II

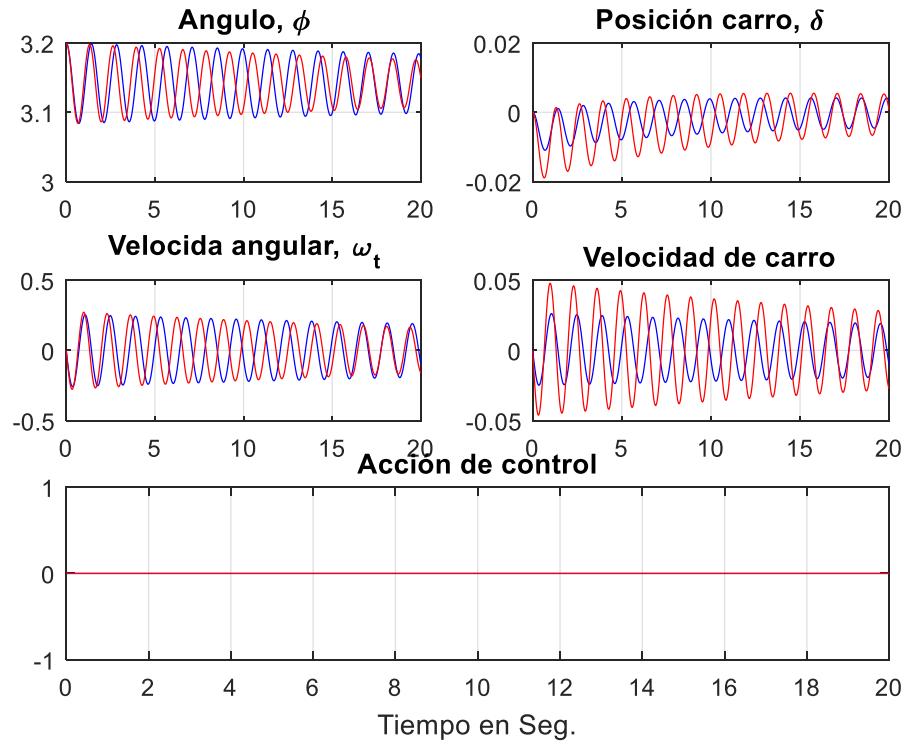


Tenemos en rojo un mayor desplazamiento de la masa grande (carro), un aumento de la frecuencia de oscilación, esto porque al ser la masa más grande genera una mayor aceleración en el carro.

$$\text{Con: } x_{op} = (0 \quad 0 \quad 3.2 \quad 0)^T$$

## Facultad de Ciencia Exactas, Físicas y Naturales

### Sistema de Control II



Se obtienen los mismos resultados anterior mente.

- Obtener la representación lineal en variables de estado para el equilibrio inestable.

Tomando como vector de estado  $x = [\delta \quad \dot{\delta} \quad \phi \quad \dot{\phi}]^T$ ,  $x_{op} = [0 \quad 0 \quad 0 \quad 0]$ .

Aplicando:

$$\begin{cases} \dot{x} = x * A + B * u \\ y = x * C + D * u \end{cases}$$

$$A = \begin{pmatrix} \frac{\partial \dot{\delta}}{\partial \delta} & \frac{\partial \dot{\delta}}{\partial \dot{\delta}} & \frac{\partial \dot{\delta}}{\partial \phi} & \frac{\partial \dot{\delta}}{\partial \dot{\phi}} \\ \frac{\partial \ddot{\delta}}{\partial \delta} & \frac{\partial \ddot{\delta}}{\partial \dot{\delta}} & \frac{\partial \ddot{\delta}}{\partial \phi} & \frac{\partial \ddot{\delta}}{\partial \dot{\phi}} \\ \frac{\partial \dot{\phi}}{\partial \delta} & \frac{\partial \dot{\phi}}{\partial \dot{\delta}} & \frac{\partial \dot{\phi}}{\partial \phi} & \frac{\partial \dot{\phi}}{\partial \dot{\phi}} \\ \frac{\partial \ddot{\phi}}{\partial \delta} & \frac{\partial \ddot{\phi}}{\partial \dot{\delta}} & \frac{\partial \ddot{\phi}}{\partial \phi} & \frac{\partial \ddot{\phi}}{\partial \dot{\phi}} \end{pmatrix}_{x_{op}, u_{op}} ; B = \begin{pmatrix} \frac{\partial \dot{\delta}}{\partial u} \\ \frac{\partial \ddot{\delta}}{\partial u} \\ \frac{\partial \dot{\phi}}{\partial u} \\ \frac{\partial \ddot{\phi}}{\partial u} \end{pmatrix}_{x_{op}, u_{op}}$$



## Facultad de Ciencia Exactas, Físicas y Naturales

### Sistema de Control II

$$C = \begin{pmatrix} \frac{\partial \delta}{\partial \delta} & \frac{\partial \dot{\delta}}{\partial \delta} & \frac{\partial \phi}{\partial \delta} & \frac{\partial \dot{\phi}}{\partial \delta} \\ \frac{\partial \delta}{\partial \dot{\delta}} & \frac{\partial \dot{\delta}}{\partial \dot{\delta}} & \frac{\partial \phi}{\partial \dot{\delta}} & \frac{\partial \dot{\phi}}{\partial \dot{\delta}} \\ \frac{\partial \delta}{\partial \ddot{\delta}} & \frac{\partial \dot{\delta}}{\partial \ddot{\delta}} & \frac{\partial \phi}{\partial \ddot{\delta}} & \frac{\partial \dot{\phi}}{\partial \ddot{\delta}} \\ \frac{\partial \phi}{\partial \delta} & \frac{\partial \phi}{\partial \dot{\delta}} & \frac{\partial \phi}{\partial \ddot{\delta}} & \frac{\partial \phi}{\partial \ddot{\delta}} \\ \frac{\partial \dot{\phi}}{\partial \delta} & \frac{\partial \dot{\phi}}{\partial \dot{\delta}} & \frac{\partial \dot{\phi}}{\partial \ddot{\delta}} & \frac{\partial \dot{\phi}}{\partial \ddot{\delta}} \\ \frac{\partial \ddot{\phi}}{\partial \delta} & \frac{\partial \ddot{\phi}}{\partial \dot{\delta}} & \frac{\partial \ddot{\phi}}{\partial \ddot{\delta}} & \frac{\partial \ddot{\phi}}{\partial \ddot{\delta}} \end{pmatrix}_{x_{op}, u_{op}} ; D = \begin{pmatrix} \frac{\partial \delta}{\partial u} \\ \frac{\partial \dot{\delta}}{\partial u} \\ \frac{\partial \phi}{\partial u} \\ \frac{\partial \dot{\phi}}{\partial u} \\ \frac{\partial \ddot{\phi}}{\partial u} \end{pmatrix}_{x_{op}, u_{op}}$$

Obtenemos a través del simbólico de Matlab<sup>1</sup>:

```
Matriz A:
/ 0, 1, 0, 0 \
|               |
|      F      g m |
| 0, ---, - ---, 0 |
|      M      M   |
|               |
| 0, 0, 0, 1 |
|               |
|      F      g (M + m) |
| 0, ---, ---, 0 |
|      L M      L M   |
\               /
```

Matriz B:

```
/ 0 \
|   |
| 1 |
| - |
| M |
|   |
| 0 |
|   |
| 1 |
| - --- |
|      L M /
```

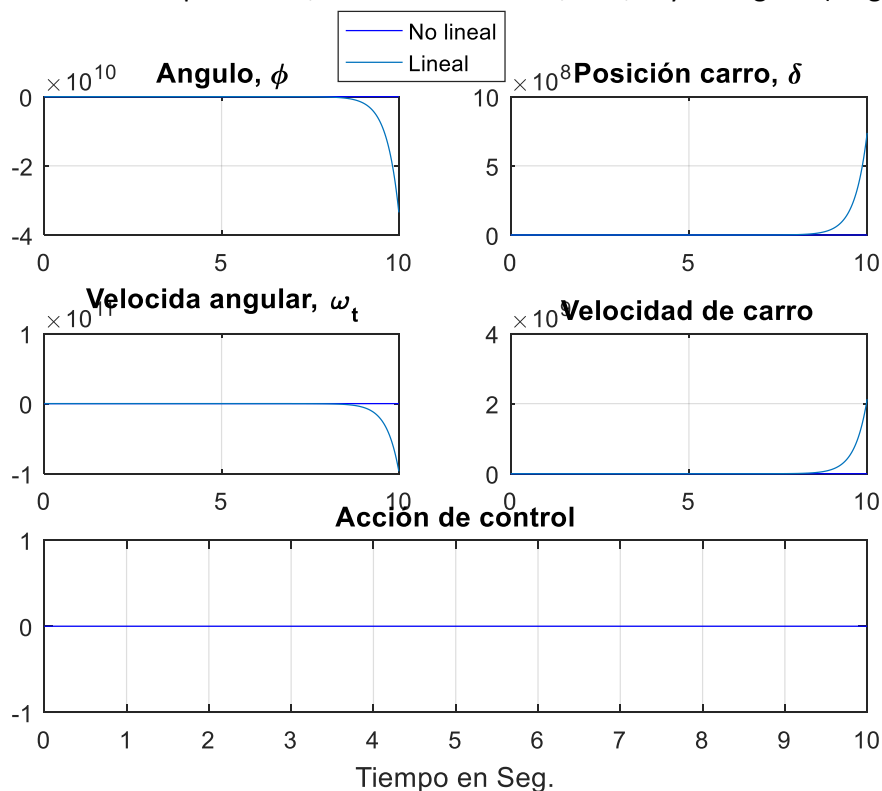
C y D salen de pura inspección.

<sup>1</sup> Los desarrollos de las ecuaciones, están en papel y lápiz, en caso de que haga falta se integran al trabajo.

**Facultad de Ciencia Exactas, Físicas y Naturales**  
**Sistema de Control II**

$$C = \begin{pmatrix} 1 & 0 & 0 & 0 \\ 0 & 1 & 0 & 0 \\ 0 & 0 & 1 & 0 \\ 0 & 0 & 0 & 1 \end{pmatrix} ; D = (0)$$

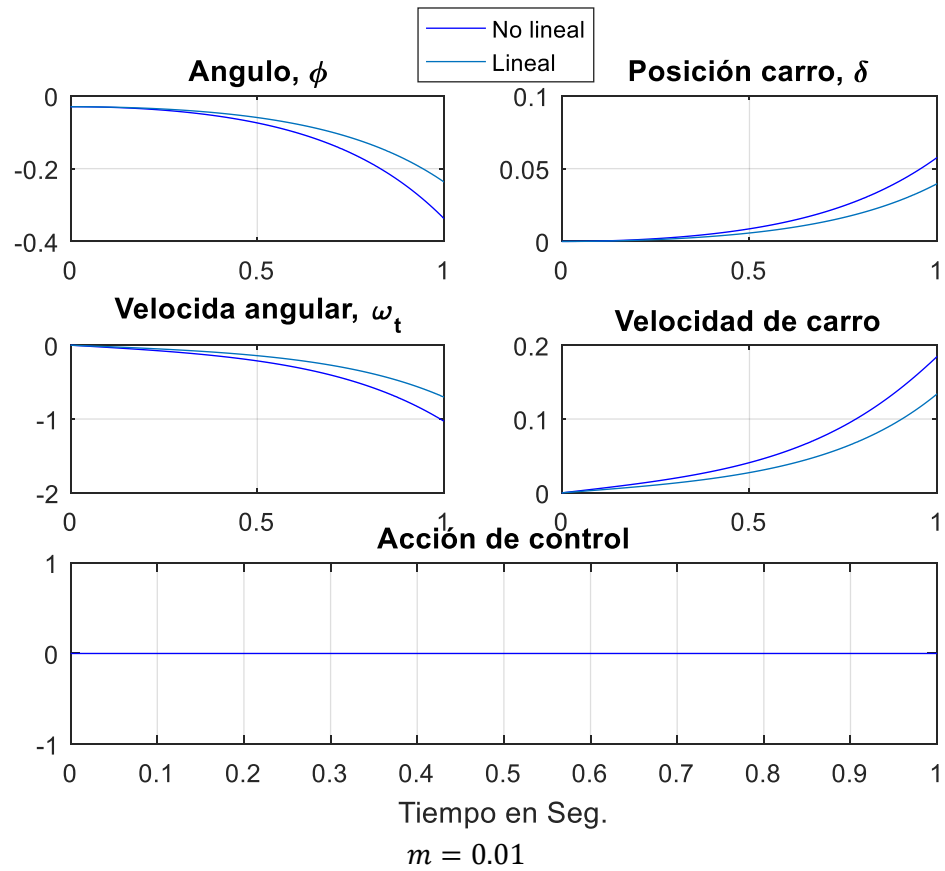
4. Obtener la solución numérica de los dos sistemas, del lineal y del no lineal para evaluar cuantitativamente la equivalencia, modificando  $m$  de 0,1 a 0,01 y la longitud (long) a 1,2m.



Como vemos el modelo lineal para el equilibrio inestable no responde muy bien si vemos el rango de valides haciendo el tiempo de simulación más corto tenemos:

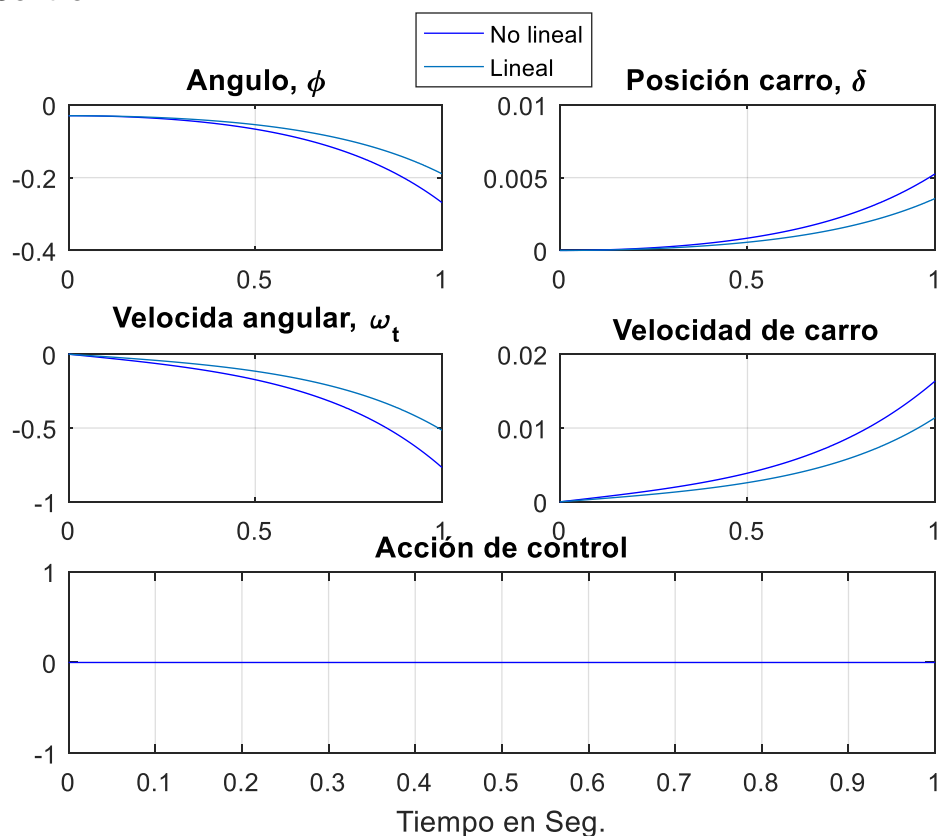
$$m = 0.1$$

**Facultad de Ciencia Exactas, Físicas y Naturales**  
**Sistema de Control II**



## Facultad de Ciencia Exactas, Físicas y Naturales

### Sistema de Control II



Como se ve el rango de valides a medida que pasa el tiempo es muy chico. Y con las disminuciones de la masa los valores de velocidad y posición se ven influenciados en igual medida.

- Obtener el sistema lineal para el equilibrio estable.  
Siguiendo el mismo procedimiento que en el punto 3, pero con:

$$x_{op} = [0 \quad 0 \quad \pi \quad 0].$$

Matriz A:

$$\begin{bmatrix} 0 & 1 & 0 & 0 \\ 0 & -\frac{F}{M} & -\frac{g \cdot m}{M} & 0 \\ 0 & 0 & 0 & 1 \\ 0 & -\frac{F}{L \cdot M} & -\frac{g \cdot (M + m)}{L \cdot M} & 0 \end{bmatrix}$$

## Facultad de Ciencia Exactas, Físicas y Naturales

### Sistema de Control II

Matriz B:

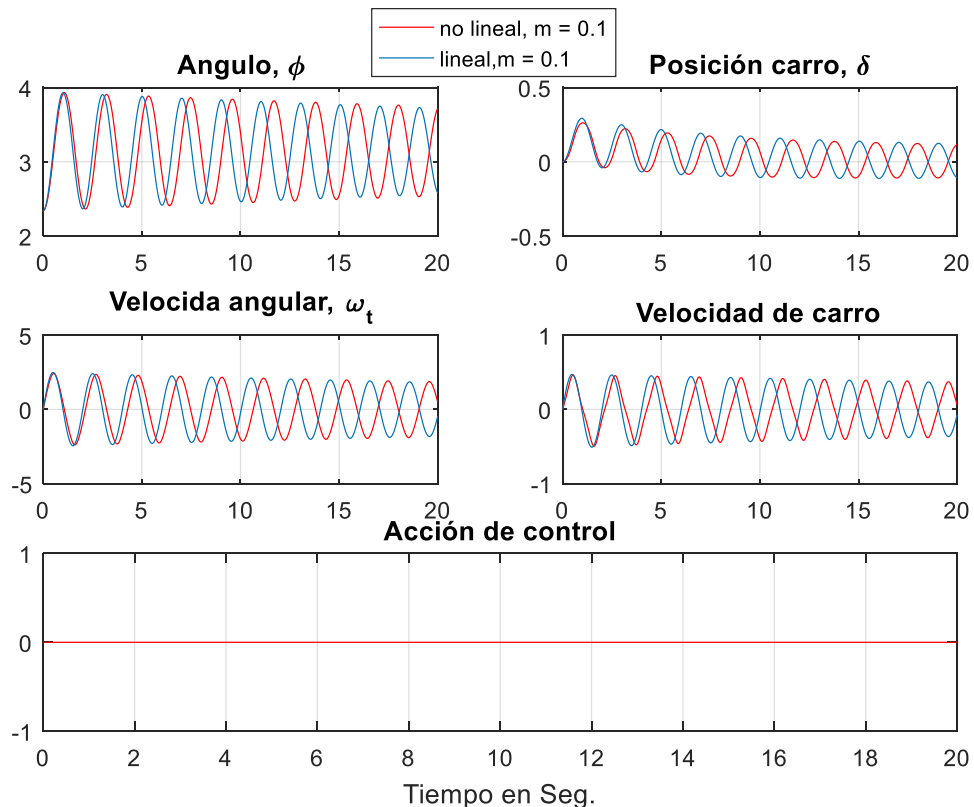
```

/  0  \
|      |
|  1  |
|  -  |
|  M  |
|      |
|  0  |
|      |
|  1  |
|  --  |
\  L M /

```

6. Obtener la solución numérica de los dos sistemas, del lineal y del no lineal para evaluar cuantitativamente la equivalencia en el equilibrio estable modificando  $m$  de 0,1 a 0,01 y cambiar la longitud  $l$  a 1,2m.

$m = 0.1$ , con un ángulo inicial  $\pi - 0.8$

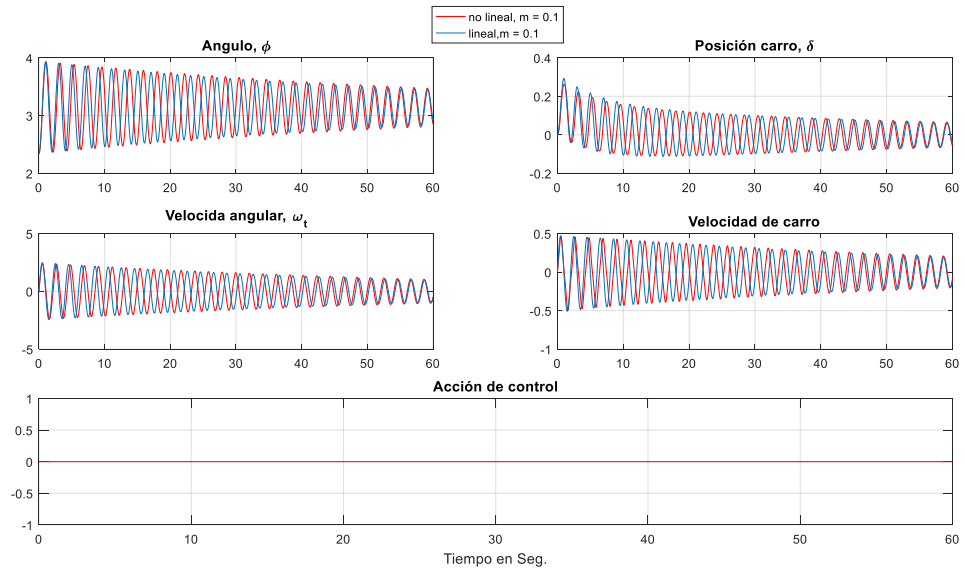


Como se ve el modelo lineal, responde bastante bien hasta cierto tiempo (antes de los 5 seg.), después ya presenta diferencias en su frecuencia de oscilación, esto es porque el ángulo en el que oscila es grande, pero a medida que el ángulo va disminuyendo el

## Facultad de Ciencia Exactas, Físicas y Naturales

### Sistema de Control II

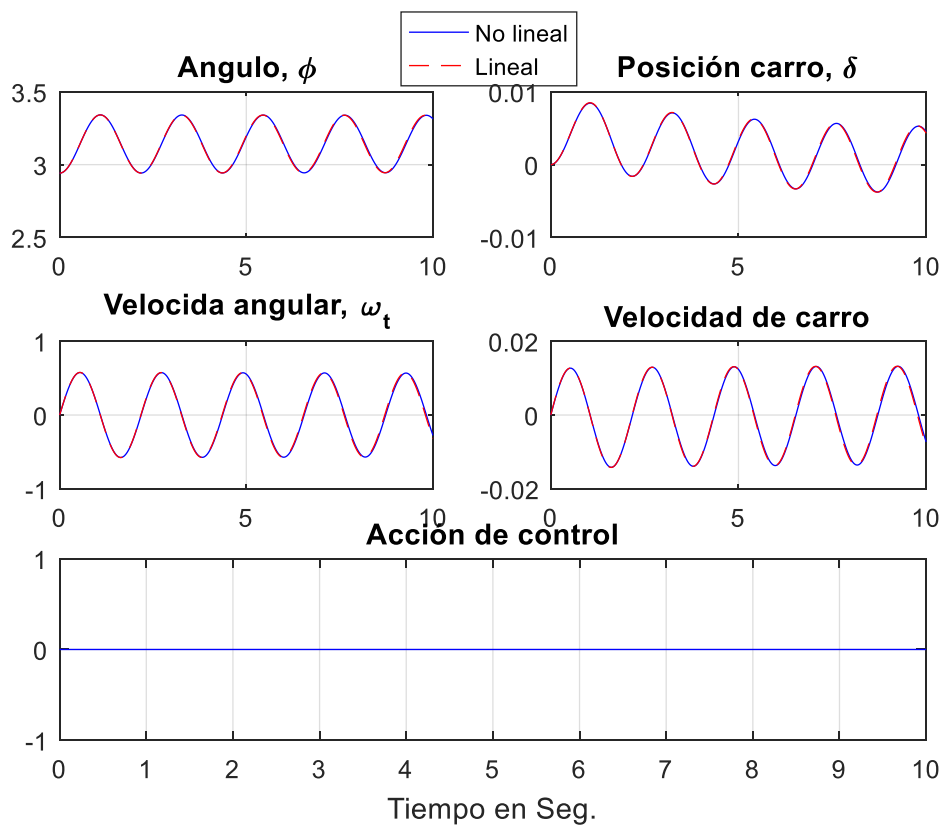
modelo lineal empieza a responder de la misma manera que el no lineal, como se ve en la siguiente figura para un tiempo de simulación de 60 segundos.



$m = 0.01$ , con alguno de inicial  $\pi - 0.2$

## Facultad de Ciencia Exactas, Físicas y Naturales

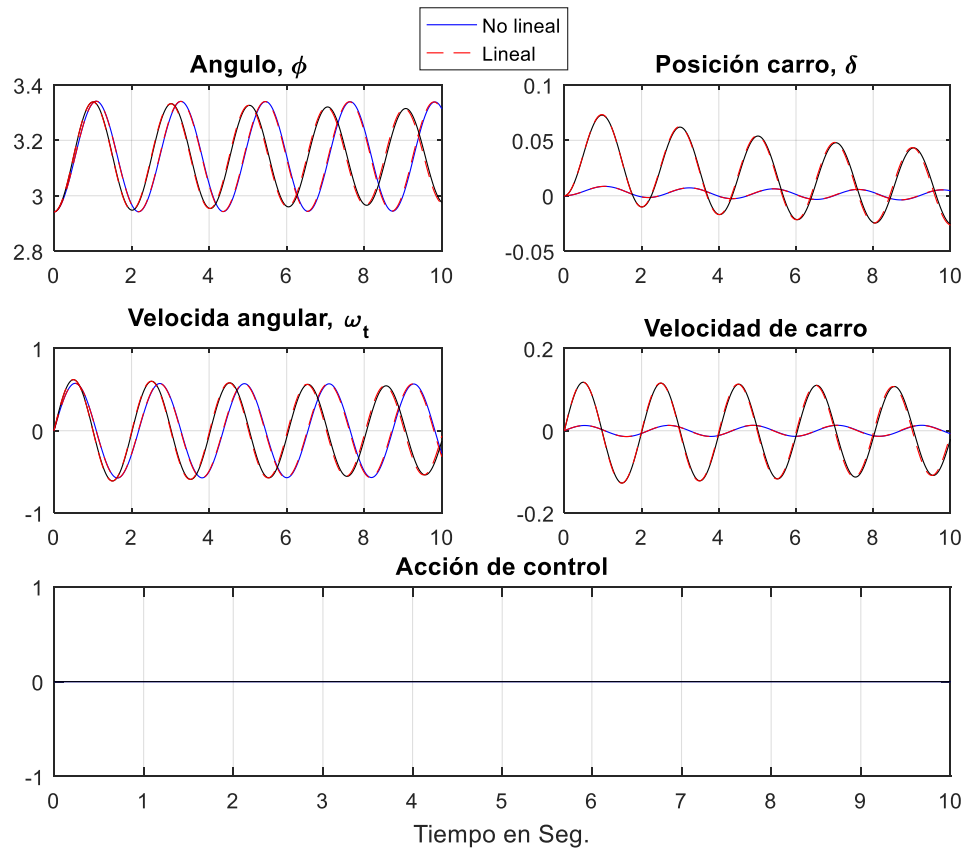
### Sistema de Control II



Vemos como las oscilaciones son más chicas, y los modelos están superpuestos ya que el ángulo respecto del equilibrio es muy chico.

## Facultad de Ciencia Exactas, Físicas y Naturales

### Sistema de Control II

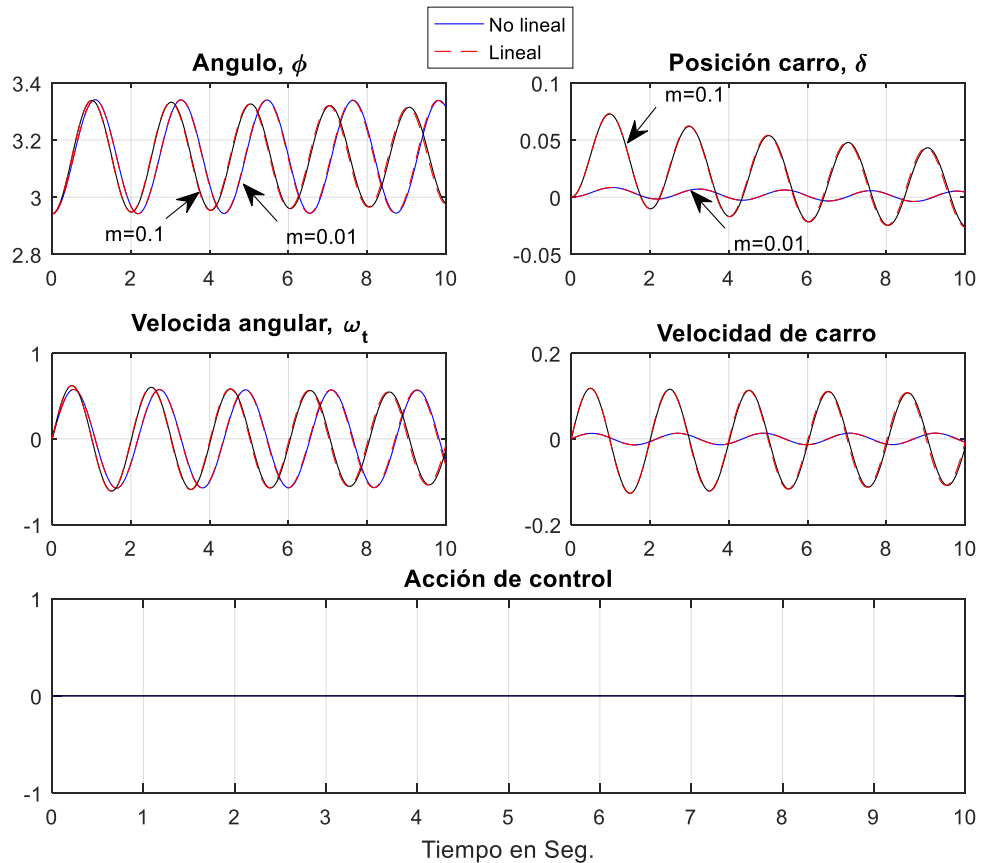


En la siguiente figura se observan las gráficas superpuestas para las distintas masas y los modelos superpuestos:



## Facultad de Ciencia Exactas, Físicas y Naturales

### Sistema de Control II



#### Lecciones aprendidas:

- Mayor entendimiento cualitativo de los resultados
- Practica en obtener el sistema lineal en variable de estados.
- Entendimiento de las limitaciones del modelo lineal.
- Distintas posibilidades de equilibrio de un sistema.

#### Complicaciones:

- Entendimiento del modelo no lineal, para ángulos negativos chicos.
- Verificación del sistema, en base a sus resultados
- Link útil para entendimiento del modelo:  
<https://www.youtube.com/watch?v=9DF-R4wxpqA>  
<https://www.youtube.com/watch?v=PAAtqTvc7III&t=375s>  
<https://riunet.upv.es/bitstream/handle/10251/10296/Memoria.pdf>  
<https://www.youtube.com/watch?v=qjhAAQexzLg>

## Facultad de Ciencia Exactas, Físicas y Naturales Sistema de Control II

### Código utilizado:

```

clc;clear all;
syms M m dpp dp d fipp fip fi L F u g
%M=0.5;m=.1;F=.1;l=.6;g=9.8;
ang_inicial=0;
disp('Equilibrio inestable')
ec1=(M+m)*dpp+m*L*fipp*cos(fi)-m*L*fip^2*sin(fi)+F*dp==u;
ec2 = L*fipp - g*sin(fi) + dpp*cos(fi) == 0;
%para el equilibrio inestable fi=0; ==> cos(0)=1, sin(0)=fi
%reemplaznado
ec1_aux= subs(subs(ec1,cos(fi),round(cos(ang_inicial))),sin(fi),fi);
ec2_aux= subs(subs(ec2,cos(fi),round(cos(ang_inicial))),sin(fi),fi);
%encontrar fipp y dpp
fipp_aux=solve(ec2_aux,fipp);
ec1_aux=subs(ec1_aux,'fipp',fipp_aux);
dpp_aux=solve(ec1_aux,dpp);
fipp_aux=subs(fipp_aux,'dpp',dpp_aux);
disp('dpp es igual a :');pretty(simplify(dpp_aux));
disp('fipp es igual a :');pretty(simplify(fipp_aux));
%linealizando para le equilibrio inestable
%haciendo taylor para cada ecuacion y evaluando para el punto de operacion Xe=[0
0 0 0]
mat_A=[ [0 1 0 0];

[subs(subs(subs(subs(diff(dpp_aux,d),'d',0),dp,0),'fi',ang_inicial),'fip',0),...
subs(subs(subs(subs(diff(dpp_aux,dp),'d',0),'dp',0),'fi',ang_inicial),'fip',0),...
.
subs(subs(subs(subs(diff(dpp_aux,fi),'d',0),'dp',0),'fi',ang_inicial),'fip',0),...
.
subs(subs(subs(subs(diff(dpp_aux,fip),'d',0),'dp',0),'fi',ang_inicial),'fip',0)]];
[0 0 0 1];

[subs(subs(subs(subs(diff(fipp_aux,d),'d',0),dp,0),'fi',ang_inicial),'fip',0),...
subs(subs(subs(subs(diff(fipp_aux,dp),'d',0),'dp',0),'fi',ang_inicial),'fip',0),.
..
subs(subs(subs(subs(diff(fipp_aux,fi),'d',0),'dp',0),'fi',ang_inicial),'fip',0),.
..
subs(subs(subs(subs(diff(fipp_aux,fip),'d',0),'dp',0),'fi',ang_inicial),'fip',0)]]];
mat_B[ 0;

```

## Facultad de Ciencia Exactas, Físicas y Naturales

### Sistema de Control II

```

subs(subs(subs(subs(diff(dpp_aux,u),'d',0),dp,0),'fi',ang_inicial),'fip',0);
0;
subs(subs(subs(subs(diff(fipp_aux,u),'d',0),dp,0),'fi',ang_inicial),'fip',0)];
disp('Matriz A:')
pretty(simplify(mat_A))
disp('Matriz B:')
pretty(simplify(mat_B))
%-----
disp('equilibrio estable')
ang_inicial=pi;
%fi=pi ==> cos(fi)=-1 y sin(fi)=-fi
ec1_aux=subs(subs(ec1,cos(fi),-1),sin(fi),-fi);
ec2_aux=subs(subs(ec2,cos(fi),-1),sin(fi),-fi);
%encontramos dpp y fpp
fipp_aux=solve(ec2_aux,fipp);
ec1_aux=subs(ec1_aux,'fipp',fipp_aux);
dpp_aux=solve(ec1_aux,dpp);
fipp_aux=subs(fipp_aux,'dpp',dpp_aux);
disp('dpp es igual a :');pretty(simplify(dpp_aux))
disp('fipp es igual a :');pretty(simplify(fipp_aux))
%linealizando para le equilibrio estable
%haciendo taylor para cada ecuacion y evaluando para el punto de operacion Xe=[0
0 pi 0]
mat_A=[ [0 1 0 0];

[subs(subs(subs(subs(diff(dpp_aux,d),'d',0),dp,0),'fi',ang_inicial),'fip',0),...
subs(subs(subs(subs(diff(dpp_aux,dp),'d',0),'dp',0),'fi',ang_inicial),'fip',0),...
.
subs(subs(subs(subs(diff(dpp_aux,fi),'d',0),'dp',0),'fi',ang_inicial),'fip',0),...
.
subs(subs(subs(subs(diff(dpp_aux,fip),'d',0),'dp',0),'fi',ang_inicial),'fip',0)];
[0 0 0 1];

[subs(subs(subs(subs(diff(fipp_aux,d),'d',0),dp,0),'fi',ang_inicial),'fip',0),...
subs(subs(subs(subs(diff(fipp_aux,dp),'d',0),'dp',0),'fi',ang_inicial),'fip',0),..
..
subs(subs(subs(subs(diff(fipp_aux,fi),'d',0),'dp',0),'fi',ang_inicial),'fip',0),..
..
subs(subs(subs(subs(diff(fipp_aux,fip),'d',0),'dp',0),'fi',ang_inicial),'fip',0)]
];

```

## Facultad de Ciencia Exactas, Físicas y Naturales

### Sistema de Control II

```
mat_B=[ 0;
subs(subs(subs(subs(diff(dpp_aux,u),'d',0),dp,0),'fi',ang_inicial),'fip',0);
0;
subs(subs(subs(subs(diff(fipp_aux,u),'d',0),dp,0),'fi',ang_inicial),'fip',0)];
disp('Matriz A:')
pretty(simplify(mat_A))
disp('Matriz B:')
pretty(simplify(mat_B))
```

```
clc;clear all;
%variables
T=10; At=1e-4; Kmax=T/At; t=linspace(0,T,Kmax);
m=0.1;F=0.1;long=1.2;g=9.8;M=0.5;color='k';angulo_inicial=pi;
d=zeros(1,int32(Kmax));dp=zeros(1,int32(Kmax));fi=zeros(1,int32(Kmax));fip=zeros(
1,int32(Kmax));
u=linspace(0,0,int32(Kmax));

%equilibrio inestable
A=[ 0 1 0 0;
    0 -F/M -(g*m)/M 0;
    0 0 0 1;
    0 F/(M*long) g*(M+m)/(M*long) 0]
B=[0;
    1/M;
    -1/(M*long);
    0]

%equilibrio estable
A1=[ 0 1 0 0;
     0 -F/M -(g*m)/M 0;
     0 0 0 1;
     0 -F/(M*long) -g*(M+m)/(M*long) 0]
B1=[ 0;
     1/M;
     1/(M*long);
     0]

%condiciones iniciales
d(1)=0;dp(1)=0;
dp(1)=0;fi(1)=angulo_inicial-0.2;fip(1)=0;dpp=0;fipp=0;
u(1)=0;
Xop=[0 0 angulo_inicial 0]';x=[d(1) dp(1) fi(1) fip(1)]';
dl(1)=0;dpl(1)=0;fil(1)=0;fipl(1)=0;
for i=1:Kmax-1
    dpp      = (long*m*sin(fi(i))*fip(i)^2+ u(i) - F * dp(i) - fipp * long * m *
cos(fi(i)))/(M+m);
```

## Facultad de Ciencia Exactas, Físicas y Naturales

### Sistema de Control II

```
fipp      = (-dpp * cos(fi(i))+g*sin(fi(i)))*(1/long);
dp(i+1)   = dp(i)   + dpp *At;
d(i+1)    = d(i)    + dp(i)*At;
fip(i+1)  = fip(i)  + fipp*At;
fi(i+1)   = fi(i)   + fip(i)*At;

%variables de sistema lineal
xp        = A1*(x-Xop)+B1*u(i);
x         = x+xp*At;
dl(i)     = x(1);
dpl(i)    = x(2);
fil(i)    = x(3);
fipl(i)   = x(4);
%Y=C*x;

end
dl(i+1)= x(1);dpl(i+1)= x(2);fil(i+1)= x(3);fipl(i+1)= x(4);
figure(1)
subplot(3,2,1);
plot(t,fi,color);hold on;%plot(t,pi*ones(size(t)),'k');hold on;
plot(t,fil,'r--');hold on;legend('No lineal','Lineal');
grid on;title('Angulo, \phi');
subplot(3,2,3);
plot(t,fip,color);hold on;%
plot(t,fipl,'r--');hold on;
grid on;title('Velocida angular, \omega_t');
subplot(3,2,2);
plot(t,d,color);hold on;%
plot(t,dl,'r--');hold on;
grid on;title('Posición carro, \delta');
subplot(3,2,4);
plot(t,dp,color);hold on;%
plot(t,dpl,'r--');hold on;
grid on;title('Velocidad de carro');
subplot(3,1,3);
plot(t,u,color);
grid on;title('Acción de control');xlabel('Tiempo en Seg.');
```